

1.1 Das PRAM-Rechnermodell

PRAM - Parallel Random Access Machine
abstraktes Rechnermodell zur Beschreibung
paralleler Alg. (Fortune, Wyllie, 1978)

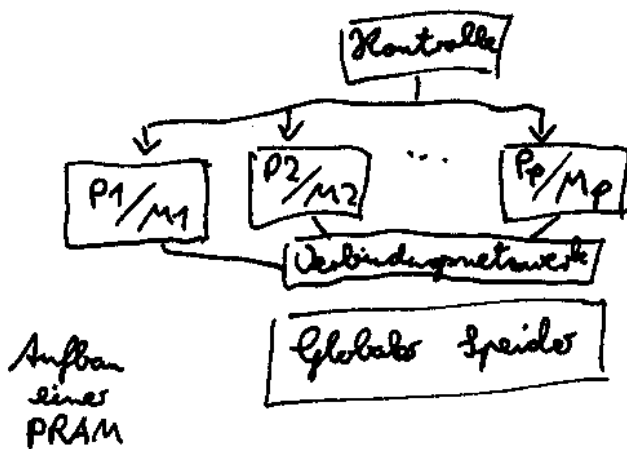
- 1 -

einfach, aber unrealistisch

→ Konzentration auf inhärente P. in Alg.

→ SIMD (Single Instruction Multiple Data) Modell

⇒ synchrone P.



Prozessor-Speicher-Paare
(Prozessorelemente)

Arbeitsweise einer PRAM

- Ein-/Ausgabe erfolgt über globalen Speicher
- Die Berechnung beginnt mit einem einzelnen aktiven Prozessorelement (PE)
 - In einem Berechnungsschritt kann ein aktives PE
 - ein anderes PE aktivieren
 - oder
 - einen lokalen oder einen globalen Speicherplatz lesen oder schreiben
 - oder
 - eine einzelne RAM-Operation ausführen, d.h. eine ALU-Operation, einen Sprung, ...
- Alle aktiven PEs führen die selbe Instruction aus, allerdings auf unterschiedlichen Speicherzellen.
- Die Berechnung terminiert, wenn das letzte PE stoppt.

Kosten einer PRAM-Berechnung

#PEs \cdot $\sum_{i=1}^n$ parallele Zeitkomplexität
(# Berechnungsschritte)

Speicherorganisation

- EREW (Exclusive Read Exclusive Write)
keine Les-/Schreibkonflikte
- CREW (Concurrent Read Exclusive Write)
gleichzeitiges Lesen, exklusives Schreiben
→ Default-Modell
- CRCW (Concurrent Read Concurrent Write)
gleichzeitiges Lesen und Schreiben
Auflösung von Schreibkonflikten:
 - COMMON: Alle müssen denselben Wert schreiben
 - ARBITRARY: Zufällige Auswahl eines Schreibers
 - PRIORITY: z.B. Der Prozessor mit kleinstem Index oder größtem Index darf schreiben

Satz 1.1: Eine p -Prozessor CRCW-PRIORITY-PRAM

19.04.2007

kann durch eine p -Prozessor EREW-PRAM
simuliert werden. Dabei wird die Zeitkomplexität
um einen Faktor $\Theta(\log p)$ erhöht.

⊖ Heide

Bsp. Wir betrachte PRAMs mit $p=2^k$ Prozessoren.

Bsp. In einem Datenfeld mit $n \gg p$ Werten soll ein
Element x gesucht werden.

seq. Alg.: Durchlauf durch Datenfeld,
bis x gefunden wurde oder Ende erreicht.
Zeitkomplexität: im Mittel: $\frac{n}{2}$ Schritte

EREW-PRAM

Sei P_i der i -te Prozessor mit $0 \leq i \leq p-1$

Vorphase Aktivierung aller p Proc.
und 'Broadcast' des Wertes x
(wegen ER erforderlich)

Stufe 1: P_0 liest x , aktiviert P_1 und gibt x an P_1 weiter

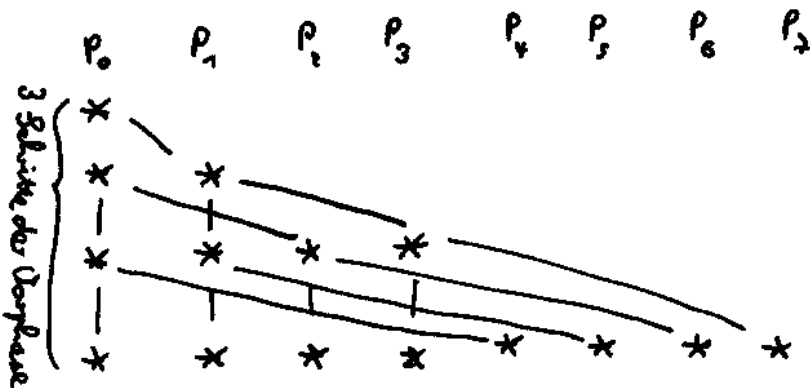
(" P_0 schreibt x in Speicherzelle, wo P_1 liest")

Stufe 2: P_0 und P_1 aktivieren P_2 und P_3

und geben x an diese weiter.

⋮
Stufe j : Alle P_i , $0 \leq i \leq 2^{j-1} - 1$,
 aktivieren alle $P_{i+2^{j-1}}$
 und geben x an diese weiter

Nach $\log p = k$ Schritten sind alle Proz aktiv und kennen x .



Für die eigentliche Parallelverarbeitung wird der Datenbereich in p Teilbereiche der Größe $(n \text{ div } p)$ bzw. $(n \text{ div } p) + 1$ zerlegt.

Jeder Proz. P_i , $0 \leq i \leq p-1$, durchläuft im Gleichtakt seinen Datenbereich und sucht den Wert x .

Nach jedem Vergleichsschritt muss geprüft werden, ob x gefunden wurde.

Da CW nicht möglich ist, schreibt jeder Proz sein Endsignal in einen eigenen Platz im globalen Speicher.

Durch einen „umgekehrten Broadcast“ werden in $\log p$ Schritten alle Endsignale mit der \log . Disjunktion ^(oder) zu einem Endsignal reduziert.

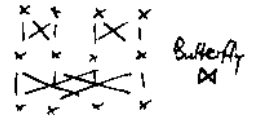
Dieses wird anschließend per Broadcast allen Proz mitgeteilt

$\Rightarrow 1 + 2 \log p$ Schritte pro Iteration

Insgesamt: worst case Zeitkomplexität $c * \log p + \lceil \frac{n}{p} \rceil (1 + 2 \log p)$ Schritte.

CREW-PRAM

Anfänglicher Broadcast von x ist nicht notwendig,
da alle Prozessoren x in einem Schritt lesen können.



Bei der Propagation und Reduktion der Endsignale kann jeder
Prozessor nun gleichzeitig die Endsignale seiner Partner lesen
und verknüpfen, so dass nach $\log p$ Schritten alle Proz. wissen,
ob x gefunden wurde. $\tilde{C} \log p + \lceil \frac{n}{p} \rceil (1 + \log p)$

$$|\tilde{C}| < c$$

Beweis von Satz 1.1:

Es wird gezeigt, dass jeder CW-Schritt einer CREW-PRIORITY-PRAM
in $\Theta(\log p)$ Schritten auf einer EREW-PRAM simuliert werden
kann.

Hilfsergebnis (Beweis später):

Eine p -Prozessor EREW-PRAM kann ein Feld mit p Elementen
im globalen Speicher in $\Theta(\log p)$ Schritten sortieren.

Annahme, die PRIORITY-PRAM besitzt die Proz. P_1, \dots, P_p
und die globalen Speicherplätze M_1, \dots, M_m .

Simulation eines CW-Schrittes, bei dem Prozessor P_i auf
die Speicherzelle M_{ij} schreiben möchte:

Die EREW-PRAM verwendet folgende Hilfsspeicherplätze
im globalen Speicher:

T_1, \dots, T_p "Schreibwünsche"
und S_1, \dots, S_p "Schreibgenehmigungen"

* Prozessor P_i der EREW-PRAM schreibt exklusiv in die
Speicherzelle T_i das Paar (j_i, i) "P_i schreibt in M_{ij} "

* Die EREW-PRAM sortiert das Feld T_1, \dots, T_p
in $\Theta(\log p)$ Schritten.

• P_1 liest T_1 etwa (j_1, i_1) und schreibt eine 1 in S_{i_1} .

• Die Prozessoren P_k , $2 \leq k \leq p$, lesen nun jeweils $T_k = (j_k, i_k)$
und $T_{k-1} = (j_{k-1}, i_{k-1})$

Falls $j_k = j_{k-1}$ (Schreibkonflikt) wird $S_{i_k} = 0$ gesetzt.

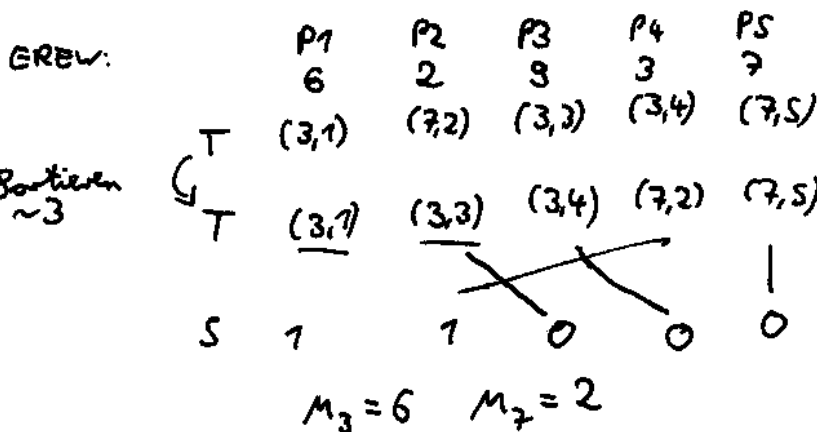
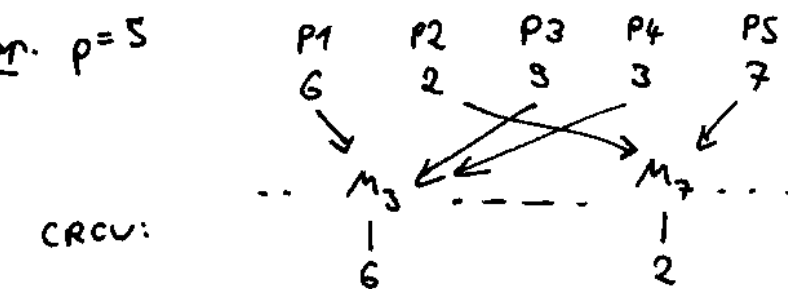
Falls $j_k \neq j_{k-1}$, wird $S_{i_k} = 1$ gesetzt, d.h. es darf geschrieben werden.

• Das S-Feld gibt an, welche Proc. exklusiv schreiben dürfen.

⇒ Simulationsaufwand pro CW-Schritt:

$\Theta(\log p)$ [Sortieren].

Bsp. $p=5$



Schreibmodus
(M-Feld, P-ID)

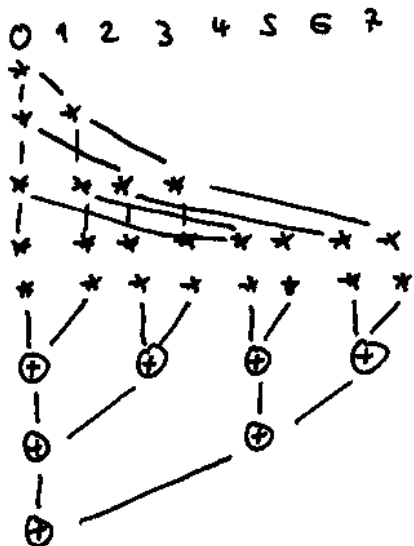
Flag

ÜB HSTV

25.04.2007

Elementare PRAM-Algorithmen

* Broadcast / Reduktion



meist Verwendung eines Binärbau

- Aktivierung von p Prozessoren bzw.

Broadcast eines Wertes an p Prozessoren in $\lceil \log p \rceil$ möglich.

- Reduktion von n Werten mit assoziativer binärer Operation \oplus ist auf $\frac{n}{2}$ Proc. in $\Theta(\log n)$ Schritten möglich

* Präfixsummenberechnung (Scans)

gegeben n Werte a_0, \dots, a_{n-1} und eine binäre, assoziative Operation \oplus

Gesucht:

$$\left. \begin{matrix} a_0 \\ a_0 \oplus a_1 \\ a_0 \oplus a_1 \oplus a_2 \\ \vdots \\ a_0 \oplus \dots \oplus a_{n-1} \end{matrix} \right\} n \text{ Werte}$$

CREW-PRAM-Verfahren

globale Variablen: $n, A[0..(n-1)]$

Anfangsbedingung: $A[0..(n-1)]$ enthält Eingabewerte

Endbedingung: $A[i]$ enthält $A[0] \oplus \dots \oplus A[i]$.

begin

spawn (P_1, \dots, P_{n-1})

| aktive
 P_1 bis P_{n-1}

for all P_i where $1 \leq i \leq n-1$ do

for $j=0$ to $\frac{\lceil \log n \rceil - 1}{=2}$ do ← ein Schleifendurchlauf pro Takt

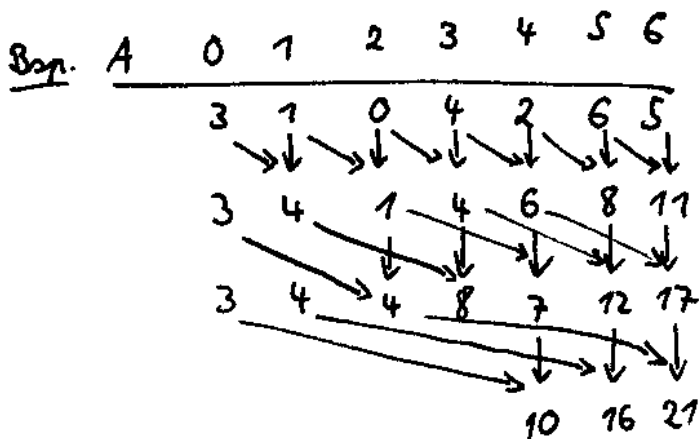
if $i \geq 2^j$ then

$A[i] \leftarrow A[i] + A[i - 2^j]$

fi

od

end



Aufwand: $n-1$ Proz., $\Theta(\log n)$ par. Schritte

Kosten: $\Theta(n \log n)$
 seq. Aufwand: $\Theta(n)$ } keine Kosteneffektivität

Def.: Ein paralleler Algorithmus heißt kosteneffektiv, wenn seine Kosten (# Proz. * par. Laufzeit) in derselben Komplexitätsklasse wie ein optimaler seq. Algorithmus liegen.

Aufwand der Reduktion

par. Kosten: $\frac{n}{2}$ Proz. $\Theta(\log n)$

$\sim \Theta(n \log n)$ } nicht kosteneffektiv

seq. Aufwand: $\Theta(n)$

Sei A ein paralleler Algorithmus mit Ausführungszeit t (# par. Schritte). Falls A m Operationen ausführt, so kann A mit p Prozessoren in der Zeit $t + \frac{m-t}{p}$ ausgeführt werden.

26.04.2007

Beweis: Sei s_i die Anzahl der Operationen, die im i -ten Schritt

von A ausgeführt werden: $\sum_{i=1}^t s_i = m$

Mit p Prozessoren benötigen wir $\lceil \frac{s_i}{p} \rceil$ Schritte zur Ausführung

von s_i Operationen.

$$\Rightarrow \sum_{i=1}^t \lceil \frac{s_i}{p} \rceil \leq \sum_{i=1}^t \frac{s_i + p - 1}{p} = \sum_{i=1}^t \left(\frac{s_i - 1}{p} + \frac{p}{p} \right)$$

$$= t + \sum_{i=1}^t \frac{s_i - 1}{p}$$

$$= t + \frac{m-t}{p}$$



Verbesserung der Reduktion/Präfixsummenberechnung durch die Reduktion der #Proc.

Reduktion

#Ops im seq. Fall: $n-1$

$$\text{im par. Fall: } \frac{n}{2} + \frac{n}{4} + \frac{n}{8} + \dots + 1 = \sum_{i=0}^{\log n - 1} 2^i = n-1$$

Kostenopt. falls $\Theta(p * \log n) = \Theta(n)$

$$\rightarrow p = \Theta\left(\frac{n}{\log n}\right)$$

Zeitkomplexität mit $p = \Theta\left(\frac{n}{\log n}\right)$ Proc. nach Brent $\Theta\left(\log n + \frac{n-1-\log n}{\frac{n}{\log n}}\right)$

$$= \Theta\left(\log n + \log n - \frac{\log^2 n}{n} - \frac{\log^2 n}{n}\right)$$

$$= \Theta(\log n)$$

\Rightarrow Die Komplexität des par. Alg. wird durch die Reduktion der Proc.-Zahl auf $\Theta\left(\frac{n}{\log n}\right)$ Proc. nicht verändert.

⇒ Kostenopt. der Reduktion auf $\Theta\left(\frac{n}{\log n}\right)$ Proz.

Bsp. $n=16 \rightsquigarrow$ Wähle $\frac{n}{\log n} = 4$ Proz. statt $\frac{n}{2} = 8$ Proz.

⇒ 1 zusätzlicher Schritt bei nur 4 Proz.

Prüfiesummenberechnung

Ops im seq. Fall: $n-1$
im par. Fall:

$$\sum_{j=0}^{\lceil \log n \rceil - 1} (n - 2^j) = n \lceil \log n \rceil - (2^{\lceil \log n \rceil} - 1) = \Theta(n \log n)$$

→ mehr Ops als im seq. Fall

→ Reduktion der # Proz. führt nicht zu kostenoptimalem Verfahren

Besser: Verwende bei $p < n-1$ Proz. für Teilbereiche opt. seq. Verfahren und kombiniere anschließend Werte in geeigneter Weise.

Berechnung der Prüfiesummen von n Werten mit $p < n-1$ Proz.

1.) Aufteilen der n Werte in p Teilbereiche mit nicht mehr als $\lceil \frac{n}{p} \rceil$ Elementen.

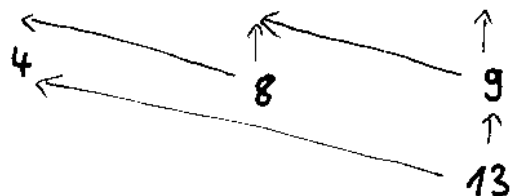
Bsp. $n=14, \lceil \log n \rceil = 4, p=4$

A 2 1 4 -3 | 0 -2 5 1 | -1 2 4 0 | 3 7

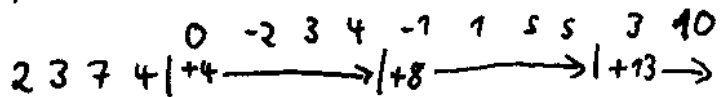
2.) Die ersten $p-1$ Proz. benutzen opt. seq. Verfahren auf ihren Teilbereichen ⇒ $\lceil \frac{n}{p} \rceil - 1$ Schritte

2 3 7 4 | 0 -2 3 4 | -1 1 5 5 | 3 10

3.) Die erste $p-1$ Proz. berechnen die Prüfiesumme der Gesamtsummen ihrer Teilbereiche mit dem par. Verfahren ⇒ $\lceil \log(p-1) \rceil$ Schritte



4.) Die letzten $p-1$ Proz. addieren die Gesamtsumme der Vorgängerblöcke auf die Elemente ihrer Teilblöcke
 $\Rightarrow \lceil \frac{n}{p} \rceil$ Additionen



Gesamtaufwand:

$$\lceil \frac{n}{p} \rceil - 1 + \lceil \log(p-1) \rceil + \lceil \frac{n}{p} \rceil \in \Theta\left(\frac{n}{p} + \log p\right)$$

Gesamtzahl der Ops:

$$p \cdot \left(\lceil \frac{n}{p} \rceil - 1\right) + \Theta(p \log p) + p \cdot \lceil \frac{n}{p} \rceil \in \Theta(n + p \log p)$$

Mit $p = \frac{n}{\log n}$ Proz. ergibt sich der Gesamtaufwand zu: $\Theta(\log n)$

Gesamtzahl der Ops: $\Theta(n)$

\Rightarrow Das Verfahren ist kostenoptimal

Einordnung der PRAM-Modelle in die Komplexitätstheorie

offenes Problem:

$$P = NP?$$

polynomiell lösbar Probleme

nichtdeterministische polyn. lösbar Probleme

NP-vollständige Probleme:

Teilklasse aus NP, für die gilt:

Wenn für ein NP-vollständiges Problem ein polynomielles Verfahren gefunden wird, dann folgt $P=NP$.

Nach Nick Pippenger wurde die folgende Nick Class (NC) benannt.

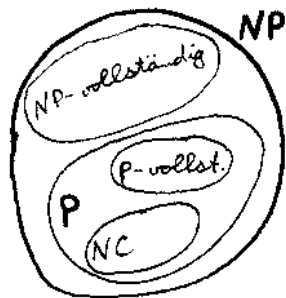
Def. Ein Problem gehört zu der Nick Class (NC), falls ein paralleler Lösungsalgorithmus A existiert, der für geeignete k_1, k_2 folgende Bedingungen erfüllt:

a) # Proz. ist polynomial in Problemgröße beschränkt, d.h. $p(n) \in O(n^{k_1})$

b) Laufzeit von A ist polylogarithmisch in Problemgröße, d.h. $T(n) \in O(\log^{k_2} n)$

Für Probleme in NC erhält man durch Sequentialisierung des par. Lösungsverfahrens lin. Verfahren mit polynomialischer Laufzeit, d.h. $NC = P$

Def. Ein Problem L in P heißt P -vollständig, falls jedes andere Problem in P in polylogarithmischer paralleler Zeit mit einer PRAM mit polynomieller Anzahl von Proz. in L transformiert werden kann.



Bsp. für P -vollst. Probleme

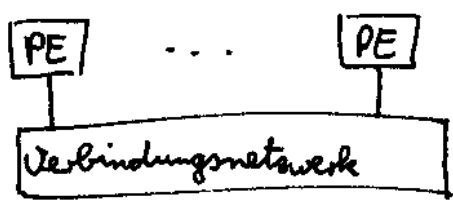
- Tiefensuche in Graphen
- Best. max. Flüsse in Graphen

Parallele Berechnungsthese (nicht bewiesen)

Die Klasse der Probleme, die ^{von} einer PRAM in Zeit $T(n)^{O(1)}$ lösbar ist, entspricht der Klasse von Problemen, die durch eine RAM mit Speicherplatz $T(n)^{O(1)}$ lösbar ist, sofern $T(n) \geq \log n$.

1.2 Rechnermodelle mit verteiltem Speicher

bestimmendes Element: Verbindungsnetzwerk
feste Knoten-zu-Knoten-Verbindungen



PE = Prozessoren
mit privatem
Speicher

Bewertungskriterien für Verbindungsstrukturen

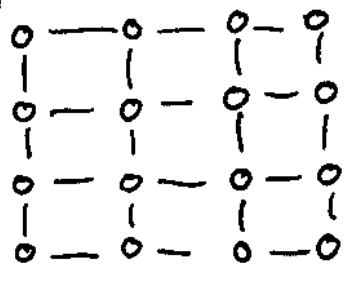
- Durchmesser $\hat{=}$ längster Abstand zwischen zwei Knoten
- Halbierungsbreite $\hat{=}$ minimale Anzahl von Verbindungslinien, die durchtrennt werden muss, um das Netzwerk in zwei Teile zu zerlegen
- Verbindungsgrad: Anzahl der Verbindungen pro Knoten

02.05.2007

Gitternetzwerke (mesh networks)

regelmäßiger q-dimensionaler Verband mit k Knoten pro Dimension
 $\rightarrow k^q$ Knoten

z.B. $q=2, k=4$

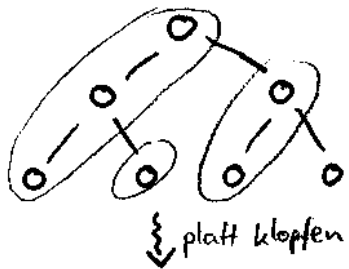


Torus: zusätzlich 'wrap-around' Verbindungen der Randknoten
 \rightarrow Ringe pro Dimension

<u>Kennzahlen</u>	Gitter	Torus
Durchmesser	$q \cdot (k-1)$	$q \cdot \lfloor \frac{k}{2} \rfloor$
Halbierungsbreite	k^{q-1}	$2 \cdot k^{q-1}$
Verbindungsgrad	$2q$	$2q$

Aufwand für Reduktion/Broadcast entspricht dem Durchmesser des Gitters

Binärbaume vollständig, Tiefe $k \rightsquigarrow 2^{k+1} - 1$ Knoten und 2^k Blattknoten



$$\sum_{i=0}^k 2^i = 2^{k+1} - 1$$



Kennzahlen

Durchmesser: $2k$

Halbierungsbreite: 1

Verbindungsgrad: 3

Aufwand Reduktion/Broadcast: k

Hypercube

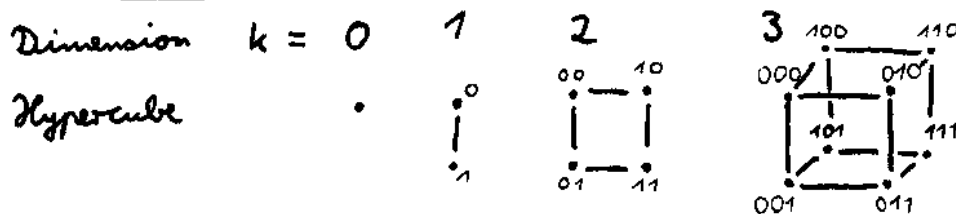
2^k Knoten sind in einem Hypercube der Dimension k wie folgt vernetzt:

Die Knoten werden durch binäre Adressen identifiziert

$$b_{k-1} \dots b_0 \quad (b_i \in \{0, 1\}, 0 \leq i \leq k-1)$$

Je zwei Knoten sind genau dann verbunden, wenn sich ihre Adresse in genau einer Bitposition unterscheiden.

induktiver Aufbau



Kennzahlen

Durchmesser: k

Halbierungsbreite: 2^{k-1}

Verbindungsgrad: k

Hypercube-Reduktion

Pseudocode: Parameter k = Dimension des Hypercubes

```

local sum
begin
  for j := 0 to k-1 do
    for all  $P_i$  where  $0 \leq i < 2^{k-j}$  do
      if bitj(i) = 1
        then send sum to  $P_{i-2^j}$ 
        else receive tmp from  $P_{i+2^j}$ 
           sum := sum + tmp
      fi
    od
  od
end
  
```

Broadcast im Hypercube

→ umgekehrte Reduktion

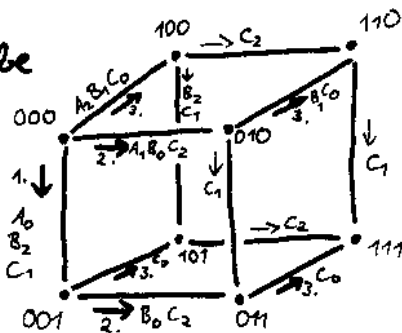
Optimierung von Johnson und Ho (1989)

für große Nachrichten:

Beobachtung: Das Standard-Broadcast-Verfahren benutzt maximal 2^{k-1} Verbindungsleitungen gleichzeitig bei $k \cdot 2^{k-1}$ insgesamt vorhandenen.

03.05.2007

Hypercube



1., 2., 3.: Standard-Broadcast

Idee: Nutze alle Verbindungsleitungen durch Aufspalten der Broadcast-Nachricht in k Teile und Durchführung des Broadcast in verschiedenen Dimensionen.

Der Algorithmus nutzt $k = \log p$ kantendisjunkte spannende Bäume des Hypercubes mit identischer Wurzel. Bei einer Nachricht der Größe M werden Nachrichtenteile der Größe $\frac{M}{\log p}$ parallel verschickt, so dass der Broadcast insgesamt $\frac{M}{\log p} * \log p = M$ Zeit benötigt.

Shuffle-Exchange-Netzwerke

2^k Knoten, die nummeriert sind von 0 bis $2^k - 1$,

2 Verbindungsarten:

- Exchange-Verbindungen: \leftrightarrow letztes Bit invertiert

$$b_{k-1} \dots b_1 0 \leftrightarrow b_{k-1} \dots b_1 1$$

- Shuffle-Verbindungen: \rightarrow binär rotiert

$$b_{k-1} \dots b_1 b_0 \rightarrow b_{k-2} \dots b_1 b_0 b_{k-1}$$

Bsp. $k=3$



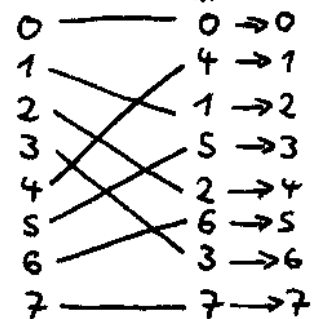
Kennzahlen

Durchmesser: $\underbrace{k}_{\text{Exchange}} + \underbrace{k-1}_{\text{Shuffle}} = 2k-1$

Halbierungsbreite: 4

Verbindungsgrad: 4

perfektes Mischen
von Knoten:



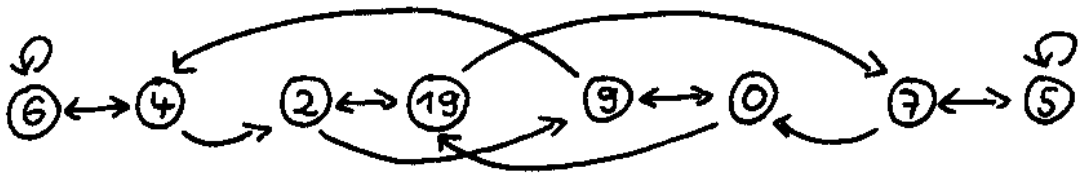
„perfect shuffle“

Shuffle-Exchange-Reduktion

Ansatz: Reduktion von zwei Zwischenergebnissen pro Schritt und Knoten

\rightarrow logarithmisch viele Schritte insgesamt

Bsp.



Schritt

1.	-3	-3	-4	-4	8	8	24	24
2.	6	6	6	6	20	20	20	20
3.	26	...						

allgem. Pseudocode

Parameter: $n = 2^k$

local val, temp

begin

for $j := 0$ to $k-1$ do

for all P_i where $0 \leq i < n$ do

send val to $P_{\leftarrow i}$ } „shuffle“
 receive val from $P_{\rightarrow i}$

send val to $P_{\langle i \rangle}$ } „exchange“
 receive temp from $P_{\langle i \rangle}$

val := val \oplus temp

od

od

end

wobei: $\leftarrow i, \rightarrow i$: i binär rotiert

$\langle i \rangle$: letztes Bit invertiert

1.3 Bewertung paralleler Algorithmen

- Analyse
- Zeitkomplexität
 - Kosten (# Proz. * par. Zeit)
- [
- Beschleunigung
 - Effizienz
 - Skalierbarkeit

$$\text{Beschleunigung (speedup)} = \frac{\text{optimale seq. Ausführungszeit}}{\text{parallele Ausführungszeit}}$$

$$\begin{aligned} \text{Effizienz (efficiency)} &= \frac{\text{optim.}}{\text{parallele Kosten}} \\ &= \frac{\text{Beschleunigung}}{\# \text{ Proz.}} \end{aligned}$$

Bezeichne n die Problemgröße

p die Anzahl der Proz.

$T_p(n)$ die Ausführungszeit eines Algorithmus auf p Prozessoren bei Problemgröße n

$S_p(n)$ die Beschleunigung

$E_p(n)$ die Effizienz

$C_p(n)$ die Kosten

Dann gilt:

$$C_p(n) = p * T_p(n)$$

$$S_p(n) = \frac{T_1^{\text{opt}}(n)}{T_p(n)}, \quad \text{i. a. } 0 \leq S_p(n) \leq p$$

$$E_p(n) = \frac{S_p(n)}{p}, \quad \text{also: } 0 \leq E_p(n) \leq 1$$

Sei $\sigma(n)$ der Zeitanteil des seq. Alg., der nicht parallelisiert werden kann.

Sei $\varphi(n)$ der Zeitanteil, der parallelisiert ist
 und $K_p(n)$ der Mehraufwand für die parallele
 Ausführung auf p Proz.

Dann gilt:

$$T_1(n) = \sigma(n) + \varphi(n)$$

$$T_p(n) \geq \sigma(n) + \frac{\varphi(n)}{p} + K_p(n)$$

$$\Rightarrow S_p(n) \leq \frac{\sigma(n) + \varphi(n)}{\sigma(n) + \frac{\varphi(n)}{p} + \underbrace{K_p(n)}_{\geq 0}} \leq \frac{\sigma(n) + \varphi(n)}{\sigma(n) + \frac{\varphi(n)}{p}}$$

$$E_p(n) \leq \frac{\sigma(n) + \varphi(n)}{p\sigma(n) + \varphi(n) + pK_p(n)}$$

Amdahls Gesetz

Sei $f = \frac{\sigma(n)}{\sigma(n) + \varphi(n)}$ der nicht par. Anteil an
 seq. Ausführungszeit

$$\text{Dann gilt: } \sigma(n) = f \cdot T_1(n) = f(\sigma(n) + \varphi(n))$$

$$\varphi(n) = (1-f) T_1(n) = (1-f)(\sigma(n) + \varphi(n))$$

$$\text{Dann gilt: } S_p(n) \leq \frac{1}{\frac{\sigma(n)}{\sigma(n) + \varphi(n)} + \frac{1}{p} \frac{\varphi(n)}{\sigma(n) + \varphi(n)}}$$

$$= \frac{1}{f + \frac{1-f}{p}} \leq \frac{1}{f}$$

Bsp. Schon bei $f = 25\%$ ist der Speedup durch 4 beschränkt.

Gesetz von Gustafson und Bennis

$$\text{Sei } s = \frac{\sigma(n)}{\sigma(n) + \frac{\varphi(n)}{p}} \quad \left. \vphantom{s} \right\} T_p(n) \text{ ohne Mehraufwand}$$

seq. Anteil an paralleler Berechnung.

$$\leadsto 1-s = \frac{\frac{\varphi(n)}{p}}{\sigma(n) + \frac{\varphi(n)}{p}}$$

$$\leadsto \sigma(n) = s * \left(\sigma(n) + \frac{\varphi(n)}{p} \right)$$

$$\varphi(n) = (1-s) * p * \left(\sigma(n) + \frac{\varphi(n)}{p} \right)$$

$$\leadsto S_p(n) \leq \frac{\sigma(n) + \varphi(n)}{\sigma(n) + \frac{\varphi(n)}{p}} = s + (1-s)p = p + (1-p)s$$

Bsp. $p = 64$

$$T_p(n) = 220 \text{ sec}$$

$$s = 5\%$$

$$\leadsto S_p(n) \leq 64 + (1-64) * 0,05 = \underline{\underline{60,85}}$$

09.05.2007

Bewertung par. Alg.

$$\text{Beschleunigung } S_p(n) = \frac{T_1(n)}{T_p(n)}$$

$$\text{Effizienz } E_p(n) = \frac{S_p(n)}{p} = \frac{T_1(n)}{p \cdot T_p(n)}$$

Unterscheide:

$\sigma(n)$ - seq. Laufzeit, die nicht parallelisierbar ist

$\varphi(n)$ - seq. Laufzeit, die parallelisierbar ist

$$\leadsto T_1(n) = \sigma(n) + \varphi(n)$$

$$T_p(n) \geq \sigma(n) + \varphi(n)/p$$

Amdahls Gesetz

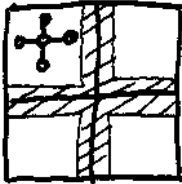
$$\text{Sei } f_n := \frac{\sigma(n)}{T_1(n)} = \frac{\sigma(n)}{\sigma(n) + \varphi(n)}$$

$$S_p(n) \leq \frac{1}{f + \frac{1-f}{p}} \leq \frac{1}{f}$$

Andahl-Effekt:

Bei wachsender Problemgröße wächst die Beschleunigung bei gleichbleibender Prozessorzahl.

Bsp.



Berechnungskomplexität $O(n^2)$

Kommunikationskomplexität $O(n)$

Die Karp-Flatt-Metrik (CACM 33(5), May 1990)

Auflösung von $S_p(n) \leq \frac{1}{f + \frac{1-f}{p}}$

nach f liefert: $f + \frac{1-f}{p} \leq \frac{1}{S_p(n)}$

$$\Leftrightarrow f \left(1 - \frac{1}{p}\right) \leq \frac{1}{S_p(n)} - \frac{1}{p}$$

$$\Leftrightarrow \boxed{f = \frac{\frac{1}{S_p(n)} - \frac{1}{p}}{1 - \frac{1}{p}}}$$

Der Term $\frac{\frac{1}{S_p(n)} - \frac{1}{p}}{1 - \frac{1}{p}}$ wird als

experimentell ermittelter serieller Anteil bezeichnet.

Da f von p unabhängig ist, sollte e möglichst konstant sein. In e geht aber auch der Mehraufwand für die Parallelverarbeitung ein, was zu wachsendem e führen kann.

\Rightarrow Über die Analyse der Entwicklung von e bei steigender Prozessorzahl und gleichbleibender Problemgröße können Rückschlüsse auf die Güte der Parallelisierung gezogen werden.

Ziel: gleichbleibende Effizienz bei steigender Prozessorezahl
durch Vergrößerung der Problemgröße

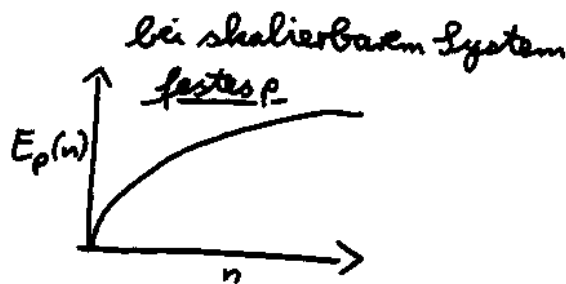
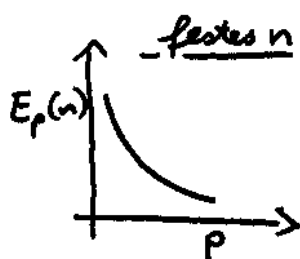
Overhead-Funktion

$$\begin{aligned} O_p(n) &= p \times T_p(n) - T_1(n) \\ &= p \cdot \sigma(n) + \cancel{\varphi(n)} + p \cdot K_p(n) - \sigma(n) - \cancel{\varphi(n)} \\ &= (p-1)\sigma(n) + p \cdot K_p(n) \end{aligned}$$

Es gilt:

$$E_p(n) = \frac{T_1(n)}{p \cdot T_p(n)} = \frac{T_1(n)}{T_1(n) + O_p(n)} = \frac{1}{1 + \frac{O_p(n)}{T_1(n)}}$$

Bei wachsender Prozessoreahl sinkt $E_p(n)$ bei fester Problemgröße.



Aus $E_p(n) = \frac{1}{1 + \frac{O_p(n)}{T_1(n)}}$ folgt: $\frac{O_p(n)}{T_1(n)} = \frac{1}{E_p(n)} - 1 = \frac{1 - E_p(n)}{E_p(n)}$

$$\Leftrightarrow T_1(n) = \underbrace{\frac{E_p(n)}{1 - E_p(n)}}_{=c} \cdot O_p(n)$$

konstant bei
gleichbleibender
Effizienz

\Rightarrow Isoeffizienzrelation f mit $n = f(p)$

Bsp. Addition von n Werten auf p Prozessoren

$$T_1(n) = O(n); \quad T_p(n) = O\left(\frac{n}{p} + \log p\right)$$

$$O_p(n) = O(p \cdot \log p)$$

$$\Rightarrow n = c \cdot p \log p$$

2. Paralleles Sortieren

interne Sortierverfahren, d.h. alle zu sortierenden Daten liegen im Hauptspeicher.

2.1 Ein CRCW-PRAM-Verfahren mit konstantem Zeitaufwand

n^2 Prozessoren einer CRCW-PRAM können n Elemente in konstanter Zeit sortieren, falls

- die Aktivierungszeit der n^2 Prozessoren ($O(\log n)$) vernachlässigt wird
- und
- beim CW die Summe der Werte geschrieben wird.

Ansatz: enumeration sort (rank sort)

Vgl. jedes Element mit jedem anderen und zähle die Anzahl der kleineren Elemente \rightarrow Position in sortierter Liste

Algorithmus:

Parameter: $n = \# \text{Elemente}$

Globale Var.: $a[0, \dots, (n-1)]$ Elemente

$pos[0, \dots, (n-1)]$ Positionen in sortierter Liste

$sorted[0, \dots, (n-1)]$ sortiertes Feld

begin

spawn $P_{i,j}$ with $0 \leq i, j < n$

for all $P_{i,j}$ with $0 \leq i, j < n$ do

$O(1)$ $\left\{ \begin{array}{l} pos[i] := 0; \\ \text{if } a[i] > a[j] \text{ or } (a[i] = a[j] \text{ and } i < j) \text{ then} \\ \quad pos[i] := 1 \quad \leftarrow \text{CW mit Addition} \\ \text{fi} \end{array} \right.$

od

for all $P_{i,0}$, $0 \leq i < n$ do

$sorted[pos[i]] := a[i]$

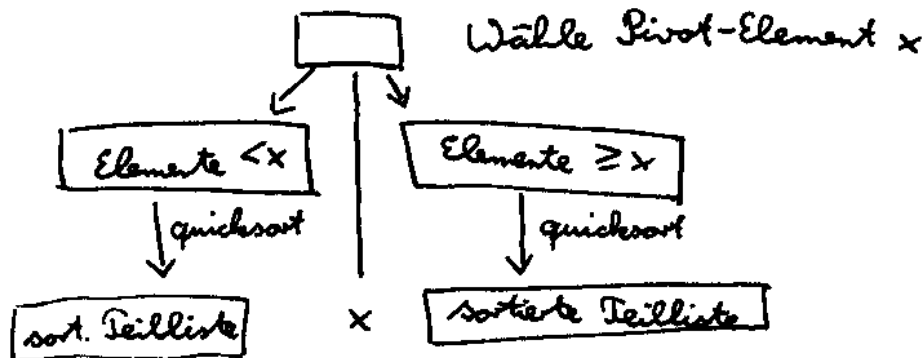
od

end

2.2 Quicksort-basierte Verfahren

Quicksort hat im Mittel opt. seq. Aufwand $O(n \log n)$

rekursives divide-et-impera-Verfahren



Probleme:

- Wahl des Pivotelements
- sequentielle Anfangsverfahren \rightarrow Anzahl

2.2.1 Hyperquicksort

Paralleles Quicksort auf Hypercubes

Initialisierung: Ausgangsliste mit n Werten wird gleichmäßig auf die 2^k Knoten eines k -dimensionalen Hypercubes verteilt.

\rightarrow Jeder Knoten enthält $\frac{n}{2^k}$ Werte

Ziel: 1.) Die Teillisten auf allen Prozessoren sind sortiert.

2.) Alle Elemente auf P_i sind \leq allen Elementen auf P_{i+1} ($0 \leq i \leq 2^k - 2$)

Eine gleichmäßige Verteilung aller Elemente (wie zu Beginn) ist nicht erforderlich.

Verfahren:

1.) Jeder Prozess sortiert die ihm zugeordnete Teilliste mit einem optimalen sequentiellen Sortierverfahren \rightarrow Ziel 1 erfüllt.

2.) rekursive divide-and-conquer-Schritte

for $d = k$ to 2 do

Zerlege den Teilhypercube der Dim. d in zwei Hypercubes der Dim. $d-1$

Sammle in einem Teilhypercube die „kleineren“ Elemente und im anderen die „größeren“ Elemente (im Vergleich zu einem Pivotelement), indem jeder Prozess mit seinem direkten Nachbarn im anderen Teilhypercube Werte austauscht.

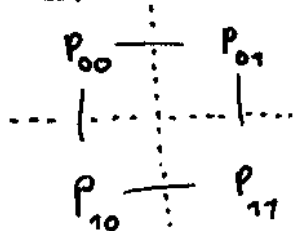
Festlegung des Pivotelements: mittleres Element eines ausgewählten Prozessors im Hypercube der Dim. d , Broadcast dieses Elementes an alle Prozessoren des Teilhypercubes.

Jeder Proc. führt split- und merge-Schritte aus:

- split: Aufteilen gemäß Pivotelement
Verschieben einer „Halbte“ an Partner
- merge: Empfang von Werten vom Partner und Mischen mit eigener „Halbte“

Nach k solchen Schritten ist auch Ziel 2 erfüllt.

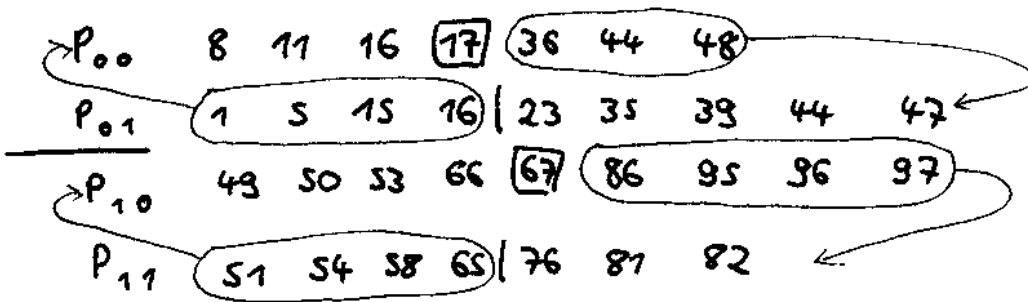
Bsp. $n=32, k=2$



nach lokalem Sortieren

P_{00}	8	16	17	48	49	66	96	97
P_{01}	39	47	51	54	58	65	76	82
P_{10}	11	36	44	50	53	67	86	95
P_{11}	1	5	15	16	23	35	44	81

nach dem ersten split- & merge - Schritt



nach dem zweiten split- & merge - Schritt

P ₀₀	1	5	8	11	15	16	16	17	
P ₀₁	23	35	36	39	44	44	47	48	
P ₁₀	49	50	51	53	54	58	65	66	67
P ₁₁	76	81	82	86	95	96	97		

→ Ziel erreicht.

Analyse

1. Schritt: $\Theta \left(\frac{n}{2^k} \cdot \log \frac{n}{2^k} \right) = \Theta \left(\frac{n}{2^k} (\log n - k) \right)$

Schritte 2.1 ... 2.k: Aufteilung in Teilhypercubes

$$k \underset{2.1}{\rightsquigarrow} k-1 \rightsquigarrow \dots \rightsquigarrow 1 \underset{2.k}{}$$

im besten Fall: gleichmäßige Aufteilung der Elemente auf Proz.

$\Theta \left(\frac{n}{2^k} \cdot k \right)$ parallele Vergleichsschritte $\Rightarrow O \left(\frac{n \log n}{2^k} \right)$
parallele Rechenschritte

Kommunikationsoverhead:

Broadcast der Pivotelemente: $\leq k$
Elementaustausch: $\frac{n}{2^{k+1}}$ } $O \left(k^2 + \frac{n-k}{2^{k+1}} \right)$
 $\rightsquigarrow O \left(\frac{n \log p}{p} \right)$

Isoeffizienzrelation:

$T_1(n) = C \cdot O_p(n)$
 $n \cdot \log n = C \cdot \frac{n \cdot \log p}{p} \cdot p$
 $\log n = C \cdot \log p$

$n = p^C \Rightarrow$ schlechte Skalierbarkeit falls $C \geq 2$

2.2.1 Hyperquicksort

1. lokale Sortierung von p Teillisten mit $\frac{n}{p}$ Elementen
2. Auswahl des Pivotelementes durch P_0
und Broadcast an alle Knoten
3. parallele Aufteilung aller sortierter Teillisten
gemäß Pivotelement

$P_0 b_{k-2} \dots b_0$ schickt seine "großen" Elemente an $P_1 b_{k-2} \dots b_0$

$P_1 b_{k-2} \dots b_0$ schickt seine "kleinen" Elemente an $P_0 b_{k-2} \dots b_0$

4. Alle Prozesse mischen empfangene Teillisten mit
eigenem Rest

Fahre fort mit Schritt 2 in beiden Teilhypercubes
 $\langle P_0 b_{k-2} \dots b_0 \rangle$ und $\langle P_1 b_{k-2} \dots b_0 \rangle$

Nach $k = \log p$ Iterationen liegt die Gesamtliste
verteilt sortiert vor.

Aufwand: $O\left(\frac{n \log n}{p} + n \log p\right)$

Nachteile von Hyperquicksort

- kritische Pivotwahl lokal durch ausgezeichneten Prozessor
- hoher Kommunikationsoverhead
"Elemente wandern über evtl. mehrere Zwischenprozesse
zur Zielposition"

2.2.2 PSRS-Algorithmus (Liet '92)

(Parallel Sorting by Regular Sampling)

1. bessere Pivotauswahl
2. Elemente werden höchstens einmal kommuniziert

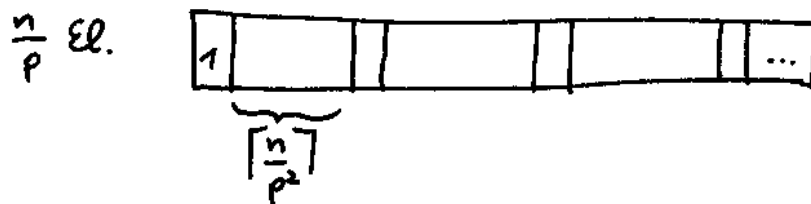
4 Phasen

Phase I: sequentielles Quicksort auf Teilsegmenten
mit bis zu $\lceil \frac{n}{p} \rceil$ Elementen der zu sortierenden Liste

→ p sortierte Teillisten mit $\leq \lceil \frac{n}{p} \rceil$ Elementen

→ Auswahl von p Elementen an den p Positionen

$$1, \lceil \frac{n}{p^2} \rceil + 1, 2 \cdot \lceil \frac{n}{p^2} \rceil + 1, \dots, (p-1) \cdot \lceil \frac{n}{p^2} \rceil + 1$$



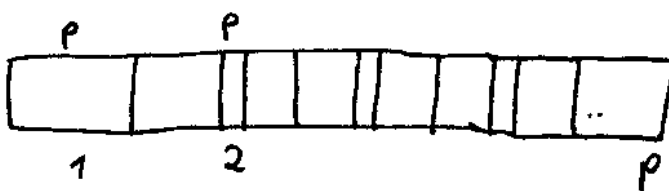
⇒ gleichmäßige Stichprobe aus
sortierter Teilliste

Phase II: Ein Prozessor sammelt alle p Proben mit
je p Elementen und mischt diese zu einer
sortierten Gesamtprobe

→ 1 sortierte Teilliste mit p^2 Elementen

→ Auswahl von $p-1$ Pivotelementen aus dieser
Probe und zwar an den Stellen

$$p + \lfloor \frac{p}{2} \rfloor, 2p + \lfloor \frac{p}{2} \rfloor, \dots, (p-1)p + \lfloor \frac{p}{2} \rfloor$$



und Broadcast dieser $p-1$ Pivotelemente
an alle Prozesse.

Phase III: Jeder Processor teilt seine Teilliste mit $\lceil \frac{n}{p} \rceil$ El. in p Teillisten gemäß den $p-1$ Pivotal. auf.

Jeder Processor i behält seine i -te Partition und versendet die j -te Partition an Processor j für $1 \leq j \leq p, j \neq i$

Phase IV: Jeder Processor mischt die ihm zugewiesenen p sortierten Teillisten zu einer sortierten Teilliste.

Die Konkatenation aller sortierten Teillisten ergibt die sortierte Gesamtliste.

Bsp. $p=3, n=27$

nach Phase I:

p 1:	<u>6</u>	14	15		<u>33</u>	46	48		<u>72</u>	81	93
p 2:	<u>12</u>	21		<u>36</u>	<u>40</u>	54	67	<u>69</u>		<u>88</u>	97
p 3:	<u>20</u>	27	32	<u>33</u>		<u>53</u>	58		<u>72</u>	84	97

Phase II:

6	12	20	<u>33</u>	39	40	<u>69</u>	72	72
---	----	----	-----------	----	----	-----------	----	----

23.05.2007

PSRS

$[X_1, \dots$

$, X_n]$

$[X_1, \dots, X_{\frac{n}{p}}]$

$[X_{\frac{n}{p}+1} \dots X_{\frac{2n}{p}}]$

$\dots [X_{(\frac{n}{p}-1)+1} \dots X_n]$

\downarrow

l_1

$l_{1,1} \quad l_1(\frac{n}{p}+1) \dots l_1((\frac{n}{p}-1)+1)$

p Probelemente pro sortierter Teilliste

Beobachtung: Jedes Problemelement repräsentiert $\frac{n}{p^2}$ Elemente einer sortierten Teilliste, die größer oder gleich dem Problemelement sind.

p^2 Problemelemente sortieren

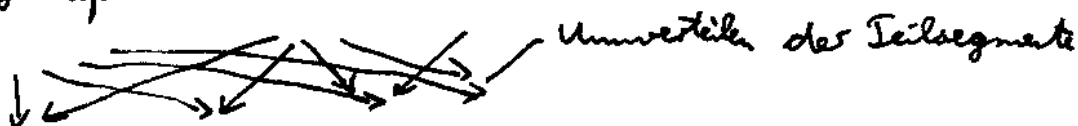
$[Y_1, \dots, Y_{p^2}]$

↓ Auswahl von $p-1$ Pivotelementen

$\{Y_{p+\frac{p}{2}}, \dots, Y_{(p-1)p+\frac{p}{2}}\}$

↙ ↓ ↘ Broadcast an alle Proc.

Auftreten von L_j in p Teilsegmente gemäß Pivotelementen



Mischen der Teilsegmente

Analyse des Verfahrens:

vereinfachende Annahmen:

p Prozessoren, p geradzahlig,

$n = p^2 k$ paarweise verschiedene El.
mit $k > 1$

Phase I: paralleles seq. Sortieren der Teillisten der Länge $\frac{n}{p}$

$$\rightarrow O\left(\frac{n}{p} \log \frac{n}{p}\right)$$

Phase II: Sortieren der Listenprobe mit p^2 Elementen

$$\rightarrow O(p^2 \log p)$$

Phase III: Aufteilen in p Partitionen

$$\rightarrow O\left(\frac{n}{p}\right)$$

Phase IV: Jeder Prozess mischt p sortierte Teillisten

Satz: Jeder Prozess hat höchstens $\frac{2n}{p}$ Elemente zu mischen.

Beweis: später

$$\xrightarrow{\text{ÜB}} O\left(\frac{n}{p} \log p\right)$$

Gesamtkomplexität

$$O\left(\frac{n}{p} \log \frac{n}{p} + p^2 \log p + \frac{n}{p} + \frac{n}{p} \log p\right) \\ = O\left(\frac{n}{p} \log n + p^2 \log p\right)$$

Falls $n \geq p^3$ dominiert der erste Term
so dass die Kompl. $O\left(\frac{n \log n}{p}\right)$ optimal wird.

Der in Phase IV verwendete Satz ist ein Korollar des
folgenden Theorems:

Beseichnet ϕ_i die Anzahl der Listenelemente,
die in Phase IV von Prozess i gemischt werden
müssen, so gilt:

$$\boxed{\max_{1 \leq i \leq p} \phi_i \leq \frac{2n}{p} - \frac{n}{p^2} - p + 1 \leq \frac{2n}{p}}$$

Notation $X = \{X_1, \dots, X_n\}$ zu sortierende Liste

$Y = \{Y_1, \dots, Y_{p^2}\}$ sortierte Listenprobe

$N_X(\text{cond})$ Anzahl der El. von X ,
die die Bedingung cond erfüllen

z. B. $N_X(\leq Y_2)$

Hilfslemma

① Sei $1 \leq i \leq p$

$$N_X \left(\leq \underbrace{Y_{(i-1)p + \frac{p}{2}}}_{(i-1)\text{te Pivotelement}} \right) \geq \begin{cases} \frac{p}{2} & \text{falls } i=1 \\ \frac{n}{p^2} \left((i-1)p - \frac{p}{2} \right) + p & \text{falls } i > 1 \end{cases}$$

Beweis:

$i=1$ $Y_{(i-1)p + \frac{p}{2}} = Y_{\frac{p}{2}}$ Die $\frac{p}{2}$ Elemente der sortierten

Probeliste $\langle Y_j \mid 1 \leq j \leq \frac{p}{2} \rangle$ sind $\leq Y_{\frac{p}{2}}$ und
Elemente aus X

$i > 1$ $(i-1)p + \frac{p}{2} > p$, d.h. in $\langle Y_\ell \mid 1 \leq \ell \leq (i-1)p + \frac{p}{2} \rangle$
sind Proben Y_j und Y_k vom selben Prozess.

Sei $j < k$. Alle $\frac{n}{p^2}$ Werte, die durch Y_j
repräsentiert werden, sind $\leq Y_k \leq Y_{(i-1)p}$

Für $(i-1)p + \frac{p}{2} - p$ Werte Y_j gibt es ein
 Y_k mit $Y_k > Y_j$ und Y_k kommt vom selben
Prozessor. Für die p größeren Werte Y_k gilt
ebenfalls, dass sie $\leq Y_{(i-1)p + \frac{p}{2}}$ sind,
d.h.

$$N_X \left(\leq Y_{(i-1)p + \frac{p}{2}} \right) \geq \underbrace{\frac{n}{p^2} \left((i-1)p - \frac{p}{2} \right)}_{\# Y_j} + \underbrace{p}_{\# Y_k}$$

$$\max_{1 \leq i \leq p} \phi_i \leq \frac{2n}{p} - \frac{n}{p^2} - p + 1$$

Hilfssätze

$$1. N_X \left(\leq Y_{(i-1)p + \frac{p}{2}} \right) \geq \begin{cases} \frac{p}{2} & \text{falls } i=1 \\ \frac{n}{p^2} \left((i-1)p - \frac{p}{2} \right) + p & \text{falls } i > 1 \end{cases}$$

$$2. N_X \left(> \underbrace{Y_{ip + \frac{p}{2}}}_{i\text{-tes Pivotelement}} \right) \geq \frac{n}{p^2} \left((p-i)p - \frac{p}{2} + 1 \right) - 1$$

Beweis: In der Probeliste der Y_i gibt es

$$p^2 - \left(p + \frac{p}{2} \right) = (p-i)p - \frac{p}{2} \quad \text{Werte } > Y_{ip + \frac{p}{2}}$$

und je $\frac{n}{p^2}$ Werte aus X , die durch diese repräsentiert werden.

Daher kommen die $\frac{n}{p^2} - 1$ Werte $> Y_{ip + \frac{p}{2}}$, die durch $Y_{ip + \frac{p}{2}}$ repräsentiert werden

($Y_{ip + \frac{p}{2}}$ ausgenommen).

$$\text{somit: } N_X \left(> Y_{ip + \frac{p}{2}} \right) \geq \frac{n}{p^2} \left((p-i)p - \frac{p}{2} \right) + \frac{n}{p^2} - 1 \quad \diamond$$

Beweis des Theorems:

3 Fälle: $i=1$, $i=p$, $1 < i < p$

1. Fall $i=1$:

Alle Elemente, die von Prozess 1 gemischt werden,

sind $\leq Y_{p + \frac{p}{2}}$

Mit Lemma 2 folgt: $N_X \left(> Y_{p + \frac{p}{2}} \right) \geq \frac{n}{p^2} \left(p^2 - \frac{3}{2}p + 1 \right) - 1$

$$= n - \frac{3}{2} \frac{n}{p} + \frac{n}{p^2} - 1$$

$$\phi_1 = n - N_X (> Y_{p+\frac{p}{2}})$$

$$\leq \frac{3}{2} \frac{n}{p} - \frac{n}{p^2} + 1$$

$$\stackrel{!}{\leq} \frac{2n}{p} - \frac{n}{p^2} - p + 1, \text{ weil } \frac{1}{2} \frac{n}{p} - p \geq 0 \Leftrightarrow n \geq 2p^2$$

2. Fall $i=p$

Alle von Prozess p zu missenden Elemente müssen größer als $Y_{(p-1)p+\frac{p}{2}}$ sein.

$$\begin{aligned} \text{Mit Lemma 1 folgt: } N_X (\leq Y_{(p-1)p+\frac{p}{2}}) \\ \geq \frac{n}{p^2} (p^2 - \frac{3}{2}p) + p \\ = n - \frac{3}{2} \frac{n}{p} + p \end{aligned}$$

Damit folgt

$$\begin{aligned} \phi_p = n - N_X (\leq Y_{(p-1)p+\frac{p}{2}}) \\ \leq \frac{3}{2} \frac{n}{p} - p \stackrel{!}{\leq} 2 \frac{n}{p} - \frac{n}{p^2} - p + 1 \end{aligned}$$

falls $\frac{1}{2} \frac{n}{p} - \frac{n}{p^2} + 1 \geq 0$ gilt, weil $p \geq 2$

3. Fall $1 < i < p$

$$\begin{aligned} \phi_i = n - N_X (\leq Y_{(i-1)p+\frac{p}{2}}) - N_X (> Y_{ip+\frac{p}{2}}) \\ \leq n - \left(\frac{n}{p^2} ((i-1)p - \frac{p}{2}) + p \right) - \left(\frac{n}{p^2} ((p-i)p - \frac{p}{2} + 1) - 1 \right) \\ = 2 \frac{n}{p} - \frac{n}{p^2} - p + 1 \end{aligned}$$

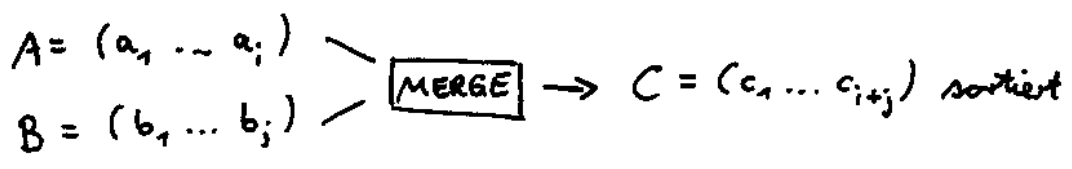
◊

2.3 Sortierernetze

Batcher 1968: Netze zum Sortieren in polylogarithmischer Zeit

hier: odd-even-merge-sort

Zentrale Idee: Mischen sortierter Teilfolgen



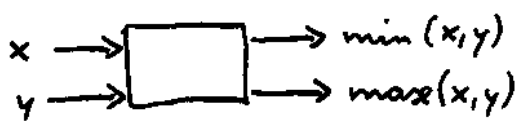
im schlechtesten Fall: $i+j-1$ Vergleiche

Das klassische Mergesort wird in Abhängigkeit von den Vergleichsergebnissen gesteuert.

→ wissensabhängig (non-oblivious)

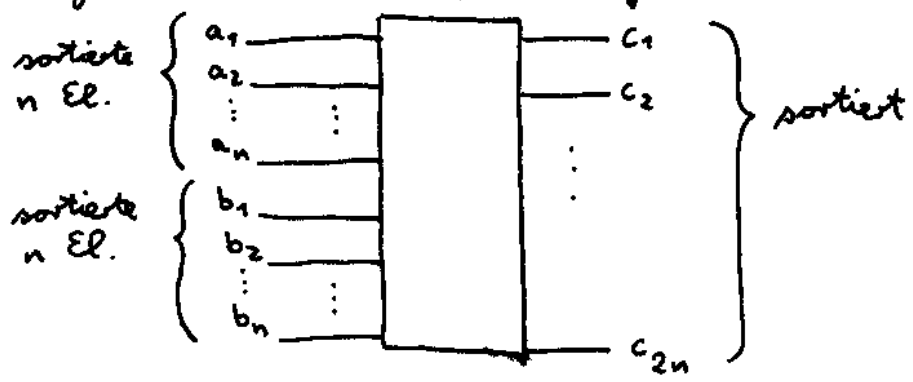
Sortierernetze arbeiten wissensunabhängig (oblivious) mit fest verdrahteten Komparator-Bausteinen.

Komparatorbaustein



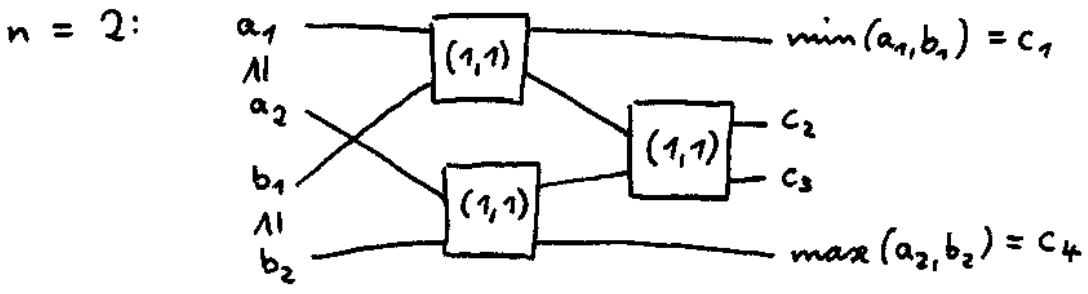
im Folgenden stets: $n = 2^k$ zu sortierende Werte.

Gesucht ist ein (n,n) -Merger:



induktive Konstruktion:

$n = 1$: Ein Komparator ist ein $(1, 1)$ -Merger



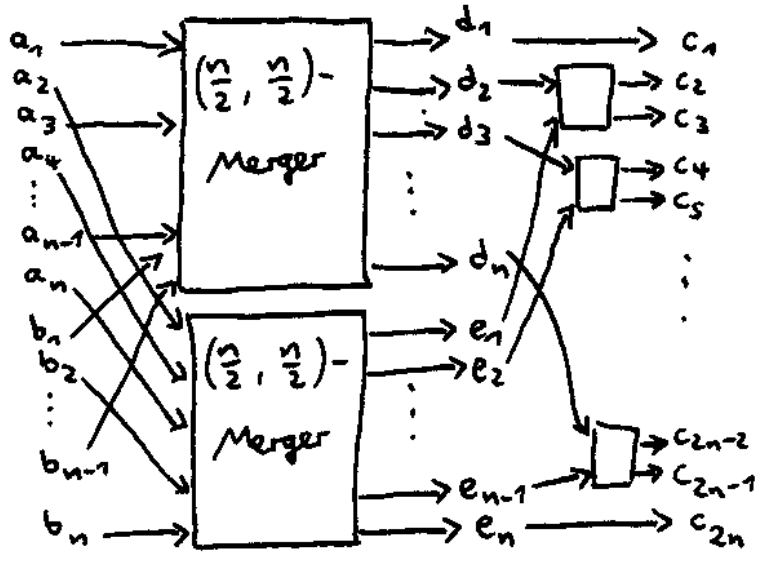
bel. $n > 1$

Voraussetzung: Es stehen $(\frac{n}{2}, \frac{n}{2})$ -Merger zur Verfügung.

Motivation: $\frac{X^{[k]}}{l}$ bezeichne Teilfolge $\langle X_{k+i} \mid i \geq 0 \rangle$

Die sortierten Teilfolgen $\frac{a^{[1]}}{2}$ und $\frac{b^{[1]}}{2}$ (ungerade Pos.) werden mit einem $(\frac{n}{2}, \frac{n}{2})$ -Merger zu einer oberen Folge d verschmolzen.

Parallel werden die Teilfolgen $\frac{a^{[2]}}{2}$ und $\frac{b^{[2]}}{2}$ (gerade Pos.) mit einem weiteren $(\frac{n}{2}, \frac{n}{2})$ -Merger zu einer sortierten unteren Folge e verschmolzen

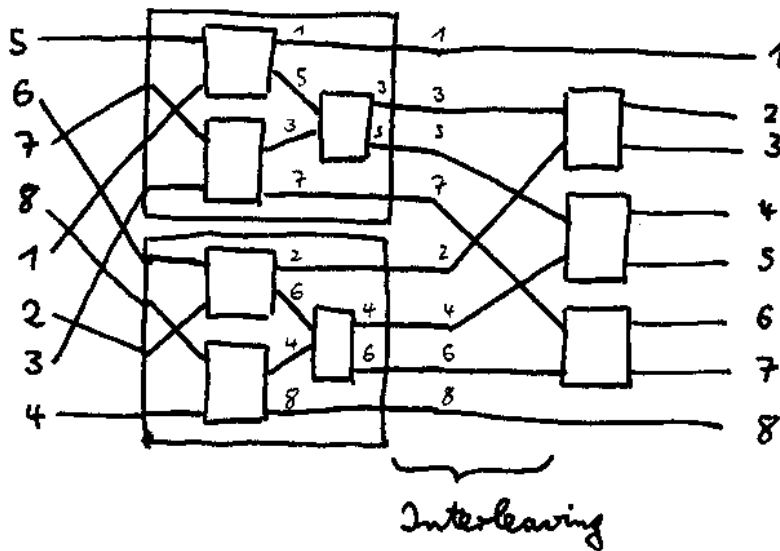


Schließlich werden die Folgen $d \setminus \{d_1\}$ und $e \setminus \{e_n\}$ mit $n-1$ Komparatoren elementweise verglichen und umsortiert.

Satz 2.1 Die Resultatfolge c ist sortiert.

-18-

Beispiel $a = (5, 6, 7, 8)$
 $b = (1, 2, 3, 4)$



Satz 2.2 (0-1-Prinzip)

Ein Sortieralgorithmus bestehe nur aus eingabeunabhängigen Vergleich-Austausch-Anweisungen. Dann gilt:
 Sortiert der Algorithmus jede Eingabefolge, die nur aus Nullen und Einsen besteht, so sortiert er jede Eingabefolge.

Beweis durch Widerspruch:

Annahme, die Eingabefolge x_1, \dots, x_n werde nicht in die korrekte Reihenfolge

$$x_{\pi(1)} \leq x_{\pi(2)} \leq \dots \leq x_{\pi(n)}$$

sortiert. Sei k die erste Stelle, an der sich die sortierte Folge von der Ausgabe des Algorithmus $x_{\sigma(1)} \dots x_{\sigma(n)}$ unterscheidet, d.h. $x_{\sigma(k)} > x_{\pi(k)}$

Def. zu x_1, \dots, x_n und k eine 0-1-Folge

$$y_i = \begin{cases} 0 & \text{falls } x_i \leq x_{\pi(k)} \\ 1 & \text{falls } x_i > x_{\pi(k)} \end{cases}$$

Wird diese Folge dem wissensunabhängigen Sortierverfahren übergeben, so finden die gleichen Vergleichs-/Austauschschritte statt, denn $x_i \geq x_j \iff y_i \geq y_j$

Insbesondere steht an der k -ten Stelle der Ausgangsfolge $y_{\sigma(k)} = 1$ und irgendwo rechts davon der Wert $y_{\pi(k)} = 0$.

Die 0-1-Folge $y_1 \dots y_n$ wird also nicht richtig sortiert. \downarrow

30.05.2007

Interleaving-Schema

$d_1 \quad d_2 \quad d_3 \quad d_4 \quad \dots \quad d_n$
 $\quad \quad e_1 \quad e_2 \quad \dots \quad e_{n-1} \quad e_n$

$d_1 \quad \{d_2 \ e_1\} \quad \{d_3 \ e_2\} \quad \dots \quad \{d_n \ e_{n-1}\} \quad e_n$

Vergleichs-/Austauschschritte

Satz 2.1: Die Resultatfolge c ist sortiert

Beweis: a und b seien sortierte 0-1-Folgen.

Sei a_k die letzte Null der Folge a
 und b_l die letzte Null der Folge b .

$$a = (0, \dots, 0, 1, \dots, 1) \quad b = (0, \dots, 0, 1, \dots, 1)$$

$\uparrow \quad \quad \quad \uparrow$
 $k \quad \quad \quad l$

$$k, l \in \{0, \dots, n\}$$

Für die Teilfolgen gilt:

$$\frac{a^{[1]}}{2} \text{ hat } \left\lceil \frac{k}{2} \right\rceil \text{ Nullen, } \frac{b^{[1]}}{2} \text{ entsprechend } \left\lceil \frac{l}{2} \right\rceil$$

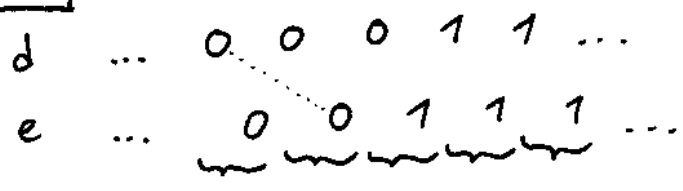
$$\frac{a^{[2]}}{2} \text{ hat } \left\lfloor \frac{k}{2} \right\rfloor \text{ Nullen, } \frac{b^{[2]}}{2} \text{ entsprechend } \left\lfloor \frac{l}{2} \right\rfloor.$$

Damit hat die Folge $d \quad \gamma := \lceil \frac{k}{2} \rceil + \lfloor \frac{l}{2} \rfloor$ Nullen
 und die Folge $e \quad \delta := \lfloor \frac{k}{2} \rfloor + \lceil \frac{l}{2} \rceil$ Nullen.

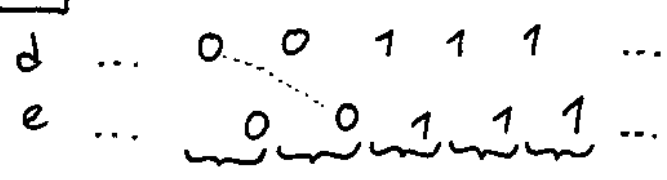
Für die Differenz $\Delta := \gamma - \delta$ gilt: $\Delta \in \{0, 1, 2\}$.

Wir betrachten das Interleaving-Schema für diese 3 Fälle:

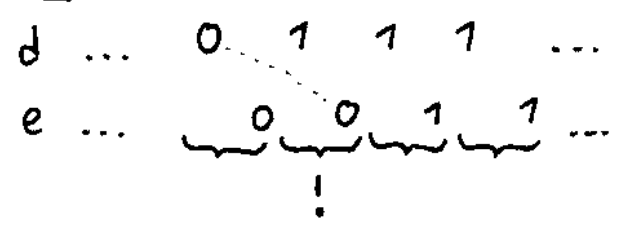
$\Delta = 2$



$\Delta = 1$

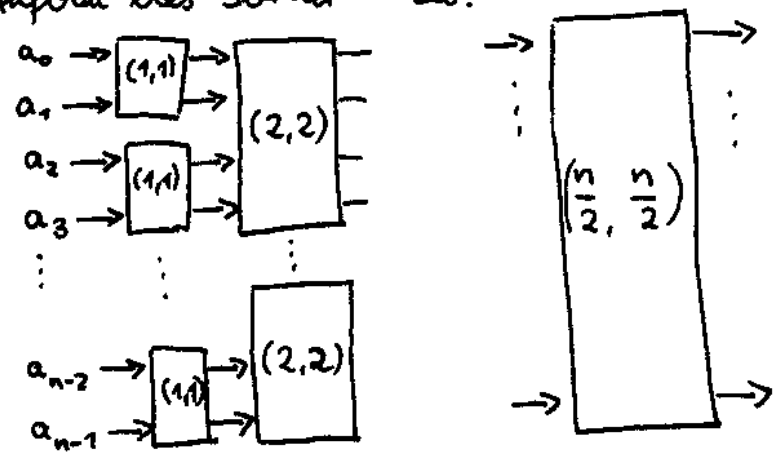


$\Delta = 0$



Die Resultatfolge ist in jedem Fall eine sortierte 0-1-Folge. ⊕

Aufbau des Sortiernetzes:



Mit $n = 2^{k+1}$ gibt es k solche Mischstufen.

Durchlaufzeit (= Zahl vertikaler Komparatorstufen)

$$t(n) = \sum_{i=0}^k \tau(2^i), \text{ wobei } \tau(n) \text{ die Durchlaufzeit eines } (n, n)\text{-Mergers sei.}$$

Komparatorzahl

$$N(n) = \sum_{i=0}^k 2^{k-i} v(2^i), \text{ wobei } v(n) \text{ die Komparatorzahl eines } (n, n)\text{-Mergers sei.}$$

nü

Bestimme $\tau(n)$ und $v(n)$ durch Analyse eines (n, n) -Mergers:

$$\text{Es gilt: } \tau(1) = 1 \\ \tau(2n) = \tau(n) + 1 \quad (n = 2^k, k \geq 0)$$

$$v(1) = 1 \\ v(2n) = 2 \cdot v(n) + 2n - 1$$

Mit vollständiger Induktion zeigt man, dass

$$\tau(n) = \log n + 1, \quad v(n) = n \cdot \log n + 1$$

Damit folgt:

$$t(n) = \sum_{i=0}^k (i+1) = \frac{(k+1)(k+2)}{2} \in O(k^2) \\ = O(\log^2 n)$$

\Rightarrow polylogarithmische Laufzeit

$$N(n) = \sum_{i=0}^k 2^{k-i} (i \cdot 2^i + 1) = \dots = 2^{k+1} - 1 + 2^k \frac{k(k+1)}{2} \\ \in O(n \log^2 n)$$

$$\text{Kosten: } t(n) \cdot N(n) \in O(n \log^4 n)$$

2.4 Der Algorithmus von Cole

optimale Lösung auf CREW-PRAM, d.h. $O(\log n)$ Zeit
mit $O(n)$ Proz.

paralleles Mischsortieren in vollständigen Binärbäumen

Hilfsmittel: Skelette von Folgen

→ Konstanter Mischaufwand

Def. 2.3

X und Y seien sortierte Folgen ganzer Zahlen.

$[x]$ entstehe aus X durch Hinzunehmen der
Elemente $-\infty$ und ∞ .

(a) Sei $a < b$ und $x \in X$

x heißt zwischen a und b $:\Leftrightarrow a < x \leq b$

(b) X heißt Skelett von Y ,

in Zeichen $X \propto Y$,

falls für alle $k \geq 2$ zwischen je k Elementen von $[x]$

höchstens $2k-1$ Elemente von Y liegen.

Notation: X gemeinsames Skelett von Y und Z

$$X \propto \frac{Y}{Z}$$

Y & Z sei die Verschmelzung (merge) von Y und Z .

Bsp. $Y = (1, 4, 6, 9, 11, 12, 13, 16, 19, 20)$

$X = (5, 10, 12, 17)$

$Z = (2, 3, 7, 8, 10, 14, 15, 17, 18, 21)$

Es gilt $X \propto \frac{Y}{Z}$

Skelett-Merging

Die beiden Folgen werden anhand des gemeinsamen Skeletts in Teilfolgen zerlegt. Die entsprechenden Teilfolgen können dann in konstanter Zeit $O(1)$ verschmolzen werden.

Lemma 2.4

Seien Y und Z sortierte endliche Folgen mit gemeinsamen Skelett X .

$$\text{Sei } Y(i) := \{y \in Y : x_{i-1} < y \leq x_i\}$$

$$Z(i) := \{z \in Z : x_{i-1} < z \leq x_i\}$$

Dann gilt:

$$Y \& Z = Y(1) \& Z(1), Y(2) \& Z(2), \dots, Y(|X|+1) \& Z(|X|+1)$$

$$-\infty \quad \left| \begin{array}{c} 1, 4 \\ 2, 3 \end{array} \right| 5 \quad \left| \begin{array}{c} 6, 9 \\ 7, 8, 10 \end{array} \right| 10 \quad \left| \begin{array}{c} 11, 12 \\ \emptyset \end{array} \right| 12 \quad \left| \begin{array}{c} 13, 16 \\ 14, 15, 17 \end{array} \right| 17 \quad \left| \begin{array}{c} 19, 20 \\ 18, 21 \end{array} \right| \infty$$

Grundidee des Algorithmus von Cole

- Verschmelzen von Folgen mit gem. Skelett
- Zu sortierende Liste ist zu Beginn auf die Blattknoten eines vollständigen Binärbaums verteilt.
- Innerer Knoten haben die Aufgabe, die Liste der Blattknoten ihres Unterbaums zu sortieren.
- Die Verschmelzung von Teillisten erfolgt in mehreren Baumebenen fließbandartig.
- Da immer Skelett-Merging durchgeführt wird, bleibt der Aufwand pro Baumebene konstant und insgesamt ergibt sich ein logarithmischer Aufwand.

Berechnungen

Gegeben sei der vollst. binäre Baum mit $k = 2^n$ Blättern.

$T(v)$ sei der Unterbaum mit Wurzel v

$\text{val}(v)$ sei die momentane Folge des Knotens v

$\text{list}(v)$ sei die sortierte Liste, die aus den Werten der Blätter von $T(v)$ entsteht.

Es gilt: $\text{val}(v)$ ist stets sortierte Teilliste von $\text{list}(v)$.

Ein Knoten v heißt vollständig, falls $\text{val}(v) = \text{list}(v)$, sonst unvollständig.

Arbeitsweise eines bel. inneren Knotens v :

Zu Beginn ist $\text{val}(v) = \emptyset$, d.h. $|\text{val}(v)| = 0$.

Der Knoten v wird aktiv, wenn er vom linken Kind eine Folge X_1 der Länge 1 erhält und vom rechten Kind eine Folge Y_1 der Länge 1, die er zu einer Folge $\text{val}(v)$ der Länge 2 verschmilzt.

In jedem weiteren Schritt j erhält der Knoten von seinen Kindknoten Folgen X_j und Y_j , so dass

$$X_{j-1} = \frac{X_{j, [1]} + Y_{j, [1]}}{2} =: \frac{X_j}{2}, \quad Y_{j-1} = \frac{Y_{j, [1]}}{2}$$

In jedem Schritt werden X_j und Y_j zu einem neuen $\text{val}(v)$ gemischt.

In jedem Schritt wird die Länge von $\text{val}(v)$ verdoppelt, bis $\text{list}(v)$ erreicht wird.

→ Knoten v wird vollständig.

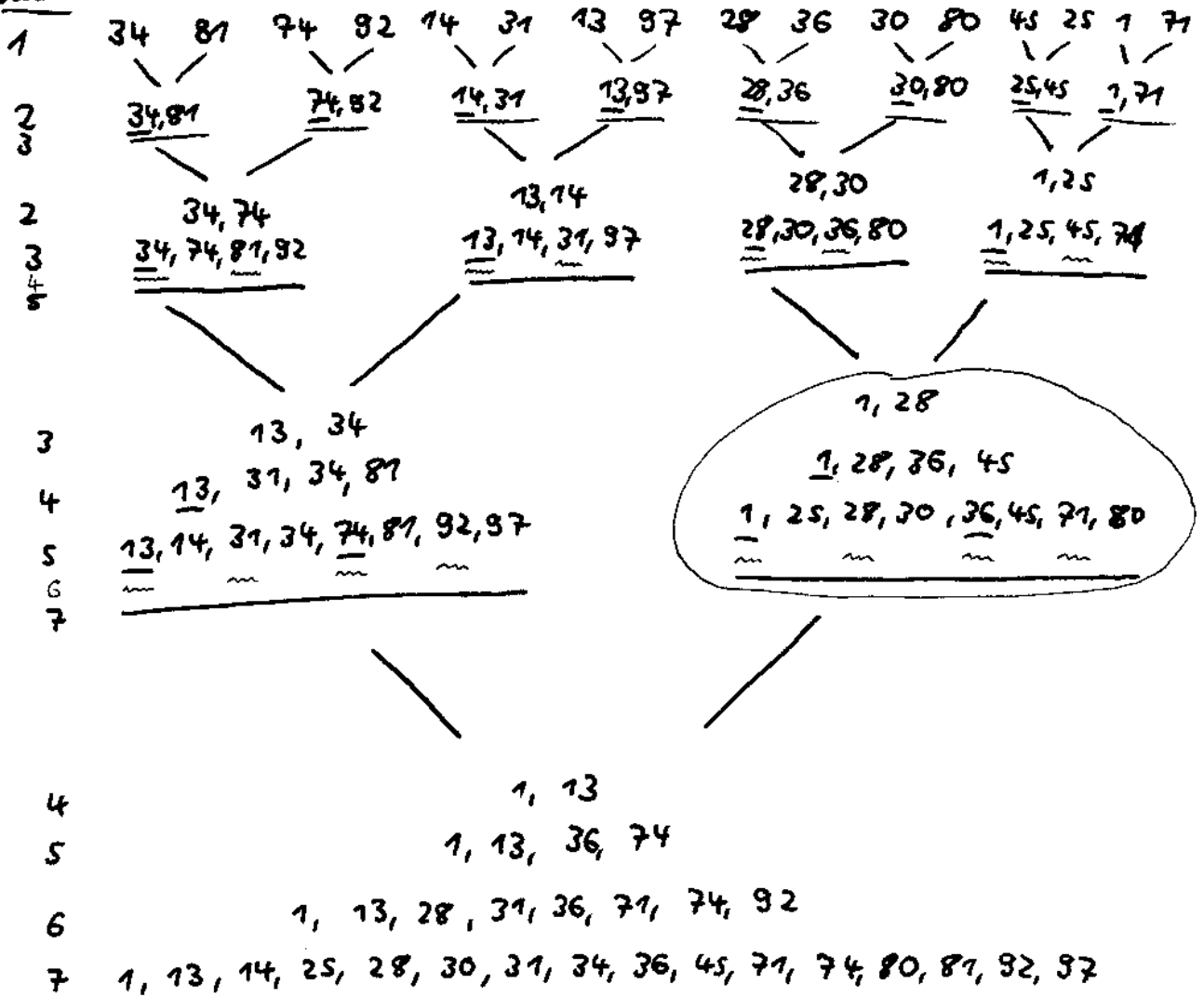
Ausgabevorschriften:

① Ist v unvollständig und $|\text{val}(v)| \geq 4$, so sendet v die Folge $\underline{\underline{z}} = \frac{\text{val}(v)}{4}$.

② Ist v vollständig, so bleibt v noch zwei Schritte aktiv. Im vorletzten Schritt sendet v $\frac{\text{list}(v)}{2}$ und im letzten Schritt $\text{list}(v)$. Danach wird v inaktiv.

Bsp. 16 Zahlen sortieren

Schritt



Schritt 1 $X_1 = (28)$ $Y_1 = (1)$

$\text{val}_1(v) = (1, 28)$

\emptyset

Schritt 2 $X_2 = (28, 36)$ $Y_2 = (1, 45)$

$\text{val}_2(v) = (1, 28, 36, 45)$

$Z_1 = (1)$

Schritt 3 v wird vollständig

$X_3 = (28, 30, 36, 80)$ $Y_3 = (1, 25, 45, 71)$

$\text{val}_3(v) = (1, 25, \dots, 80) = \text{list}(v)$

$Z_2 = (1, 36)$

vorletzter Schritt $Z_3 = (1, 28, 36, 71)$

Schritt 5: $Z_4 = \underline{\text{list}}(v) \rightsquigarrow$ wird inaktiv

Satz 2.5: Sei v ein Knoten mit $|\text{list}(v)| \geq 4$.

Seien X_{i+1}, Y_{i+1} die Eingabefolgen und Z_i die Ausgabefolge in seinem $(i+1)$ -ten Schritt. Dann gilt für alle $i \in \mathbb{N}$:

$$X_{i+1} \propto X_{i+2} \text{ und } Y_{i+1} \propto Y_{i+2} \rightsquigarrow Z_i \propto Z_{i+1}$$

Lemma 2.6: $X \propto X', Y \propto Y' \rightsquigarrow \frac{X \& Y}{4} \propto \frac{X' \& Y'}{4}$

Beweisskizze: Gelte $X \propto X', Y \propto Y'$.

Zeige: (a) $X \& Y \propto X', X \& Y \propto Y'$

(b) Im allgemeinen gilt nicht: $X \& Y \propto X' \& Y'$

Jedoch liegen zwischen je k aufeinanderfolgenden Elementen von $X \& Y$ höchstens $2k+2$ Elemente von $X' \& Y'$.

(c) Mit (a) und (b) folgt die Aussage des Lemmas. \diamond

Beweis von Satz 2.5

Sei $|\text{list}(v)| = 2^{j-1} \quad j \geq 3$,

d.h. Knoten v ist nach seinem $(j-1)$ -ten Schritt vollständig.

Mit der Ausgabevorschrift ① erhält man mit Lemma 2.6

für alle i mit $1 \leq i < j-2$

$$Z_i = \frac{\text{val}(v)}{4} = \frac{X_{i+1} \& Y_{i+1}}{4} \propto \frac{X_{i+2} \& Y_{i+2}}{4} = Z_{i+1}$$

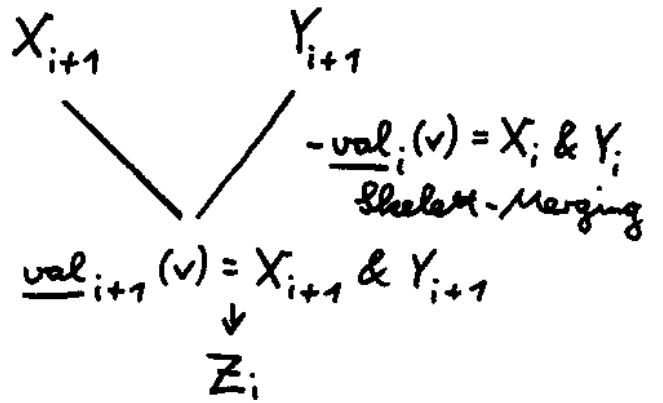
Sobald v vollständig, tritt Vorschrift ② in Kraft und

$$\text{es gilt: } Z_{j-1} = \frac{\text{list}(v)}{4} \propto \frac{\text{list}(v)}{2} = Z_j$$

$$Z_j = \frac{\text{list}(v)}{2} \propto \text{list}(v) = Z_{j+1} \quad \diamond$$

Algorithmus von Cole

Knoten v in seinem
($i+1$)-ten aktiven Schritt



Es gilt $Z_i = \begin{cases} \frac{X_{i+1} \& Y_{i+1}}{4} & \text{falls } |val_{i+1}(v)| \geq 4 \\ \frac{list(v)}{2} & \text{im vorletzten Schritt} \\ list(v) & \text{im letzten Schritt} \end{cases}$

Invariante: $X_{i+1} \propto X_{i+2}$, $Y_{i+1} \propto Y_{i+2} \rightsquigarrow Z_i \propto Z_{i+1}$

Zeitlicher Ablaufplan

<u>Phase</u>	gesendete Folgen (mit X_i wird gleichzeitig Y_i gesendet)
1	$Z_1^{Blatt} \rightarrow X_1^A$
2	$Z_1^A \rightarrow X_1^B$
3	$Z_2^A \rightarrow X_2^B$
4	$Z_1^B \rightarrow X_1^C$
5	$Z_2^B \rightarrow X_2^C$
6	$Z_3^B \rightarrow X_3^C$ $Z_1^C \rightarrow X_1^D$
	$Z_2^C \rightarrow X_2^D$
	$Z_3^C \rightarrow X_3^D$
	$Z_4^C \rightarrow X_4^D$

Beobachtung

- Wird Knoten v im Schritt i inaktiv, so wird sein Elternknoten im Schritt $i+3$ inaktiv.

$$\leadsto \text{Laufzeit } t(n) = 3 \log n = \underline{\underline{O(\log n)}}$$

- Prozessoren werden nur ^{für} die aktiven Knoten benötigt. Jeder aktive Knoten benötigt $|val(v)|$ Prozessoren.

Die gesamte zu sortierende Folge liegt in der Baumebene, die vor ihrem letzten Schritt steht.

In jeder darüberliegenden Ebene findet man höchstens halb so viele Elemente, d.h.

$$N(n) = \sum_{v \text{ aktiv}} |val(v)| = O(2n) = O(n)$$

\Rightarrow Algorithmus ist kostenoptimal

Skelet-Merging auf CREW-PRAM mit konstantem Aufwand

Def. 2.7 Seien A und B sortierte endliche Folgen ganzer Zahlen. Der Rang von $a \in A$ in B ist definiert als relative Koordinate von a bzgl. B , d.h.

$$b_i < a \leq b_{i+1} \text{ für } b_i, b_{i+1} \in B$$

$$\leadsto \text{rg}_B(a) = i$$

Die Rangfunktion von A bzgl. B , $\text{rg}_B(A)$, sei ein Feld mit $|A|$ Einträgen. Der i -te Eintrag sei $\text{rg}_B(a_i)$.

Bsp. $Y = (1, 4, 6, 9, 11, 12, 13, 16, 19, 20)$

$X = (5, 10, 12, 17)$

$Z = (2, 3, 7, 8, 10, 14, 15, 17, 18, 21)$

Dann gilt:

$$\text{rg}_X(Y) = (0, 0, 1, 1, 2, 2, 3, 3, 4, 4)$$

$$\text{rg}_X(Z) = (0, 0, 1, 1, 1, 3, 3, 3, 4, 4)$$

$$\text{rg}_Y(X) = (2, 4, 5, 8)$$

$$\text{rg}_Z(X) = (2, 4, 5, 7)$$

Lemma 2.7 (Rangberechnung)

Ist $B = (b_1, \dots, b_k)$ eine sortierte Folge, so kann für ein a der Rang $\text{rg}_B(a)$ in $O(1)$ mit $O(k)$ Prozessoren auf einer CREW-PRAM berechnet werden.

Beweis: Betrachte die Folge $:= (-\infty, \underbrace{b_1, \dots, b_k}_{b_0}, \infty)_{b_{k+1}}$

PRAM-code:

for all i in $0 \leq i \leq k$ do

if $\underbrace{b_i < a \leq b_{i+1}}_{CR}$ then $\underbrace{\text{rg}_B(a) := i}_{EW}$

Lemma 2.8: Seien X, Y, Z sortierte Folgen und es sei $Z \subseteq X \cup Y$. Falls $\text{rg}_X(Z), \text{rg}_Y(Z), \text{rg}_Z(Y)$ bekannt sind, kann das Skelett-Merging von X und Y bzgl. Z in $O(1)$ -Zeit mit $|X| + |Y|$ Prozessoren auf einer CREW-PRAM durchgeführt werden.

3. Matrixoperationen

13.06.2007

Transposition, Multiplikation, Inversion

o.B.d.A. $n \times n$ -Matrizen

$$O_2 = \begin{pmatrix} a_{11} & \dots & a_{1n} \\ \vdots & \ddots & \vdots \\ a_{n1} & \dots & a_{nn} \end{pmatrix} = (a_{ij})_{1 \leq i, j \leq n}$$

3.1 Transposition

Spiegelung an der Diagonalen

Zeilenvektoren \leftrightarrow Spaltenvektoren

Aufwand seq. Transposition: $O(n^2) = \Omega(n^2)$

3.1.1 EREW-PRAM-Transposition

$$\binom{n}{2} = \frac{n(n-1)}{2} \text{ Proz. } P_{ij}, \quad 1 \leq i < j \leq n$$

O_2 liegt im gemeinsamen Speicher

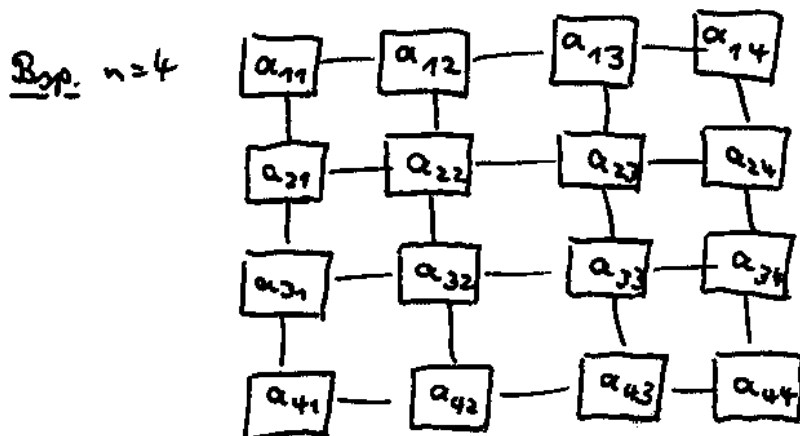
Alle Proz. führen parallel in $O(1)$ Schritten den

Befehl $a_{ij} \leftrightarrow a_{ji}$ aus.

P_{ij} arbeitet exklusiv auf a_{ij} und a_{ji} \rightarrow EREW.

3.1.2 Gitter-Transposition

$n \times n$ Gitter \rightarrow natürliche 1-1-Verteilung der Matrixelemente.



Jeder Prozessor P_{ij} , $1 \leq i, j \leq n$, $i \neq j$

hat drei Register.

$A(i,j)$ speichert zu Beginn a_{ij} und am Ende a_{ji}

$B(i,j)$ empfängt Daten von $P_{i,j+1}$ (rechter Nachbar),
falls $i \leq j$,
und von $P_{i-1,j}$ (oberer Nachbar), falls $i > j$.

$C(i,j)$ empfängt Daten von $P_{i,j-1}$ (linker Nachbar),
falls $i < j$,
und von $P_{i+1,j}$ (unterer Nachbar), falls $i \geq j$.

Das Matrixelement a_{ij} wird als Tripel (a_{ij}, j, i) gesendet.
Zuerst vertikal ($i > j$) bzw. horizontal ($i < j$) zu P_{ij}
und dann horizontal bzw. vertikal zu P_{ji} .

In jedem Schritt wird getestet, ob die Position (j, i)
im Datentripel mit der Prozessorpos. übereinstimmt.
Wenn ja, wird das Matrixelement ins A-Reg. kopiert.

Analyse: längster Weg bei Matrixelement a_{1n} und a_{n1}
 $\rightarrow 2(n-1)$ Schritte

\Rightarrow keine Kostenoptimalität, da parallele Kosten $O(n^3)$.

3.1.3 Shuffel-Transposition (Stone 1971)

Sei $n = 2^q$

Perfect-Shuffel-Netzwerk mit $n^2 = 2^{2q}$ Proc. $P_0 \dots P_{n^2-1}$

Zeilenweise Speicherung der Matrix

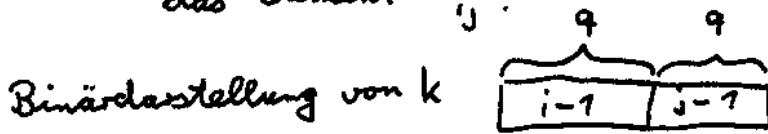
$$a_{ij} \mapsto P_k := P_{ij} \text{ mit } k = 2^q(i-1) + j - 1$$

Transposition bedeutet Übergang zu spaltenweiser Speicherung
der Matrixelemente.

$$a_{ij} \mapsto P_l \text{ mit } l = (j-1) \cdot 2^q + (i-1)$$

Satz 3.1 Nach q Shuffle-Schritten enthält Prozessor P_k das Element a_{ij} .

Beweis: Zu Beginn enthält P_k mit $k = (i-1) \cdot 2^q + (j-1)$ das Element a_{ij} .



Bei jedem Shuffle-Schritt wandert ein Matrixelement zu dem Prozessor, dessen Prozessor-ID durch einen zyklischen Linksshift entsteht.

Nach q zyklischen Linksshifts befindet sich a_{ij} in P_l mit l :

$j-1$	$i-1$
-------	-------

. ♦

Analyse: parallele Zeit: $q = O(\log n)$ Schritte
parallele Kosten: $O(n^2 \log n)$
nicht optimal, aber besser als Gittertransposition.

14.06.2007

3.2 Multiplikation

geg. Matrizen $O = (a_{ij})_{1 \leq i, j \leq n}$,

$L = (b_{ij})_{1 \leq i, j \leq n}$

Gesucht Matrix $Z = (c_{ij})_{1 \leq i, j \leq n}$

mit $c_{ij} = \sum_{k=1}^n a_{ik} b_{kj}$

seq. Aufwand: $O(n^3)$ Ops bei Schulmethode

3.2.1 CRCW-PRAM-Multiplikation

Auflösen von Schreibkonflikten durch Disabling Summation aller Schreibwünsche

n^3 Proz P_{ijk} , Matrizen O und L im gemeinsamen Speicher

Alle Proz. P_{ijk} führen parallel die Berechnung

$$c_{ij} = a_{ik} * b_{kj} \text{ durch.}$$

Analyse: par. Laufzeit: $O(1)$

par. Kosten: $O(n^3)$

relativ opt. zur Seilmethode

3.2.2 Gitter-Multiplikation

n^2 Proz. P_{ij}

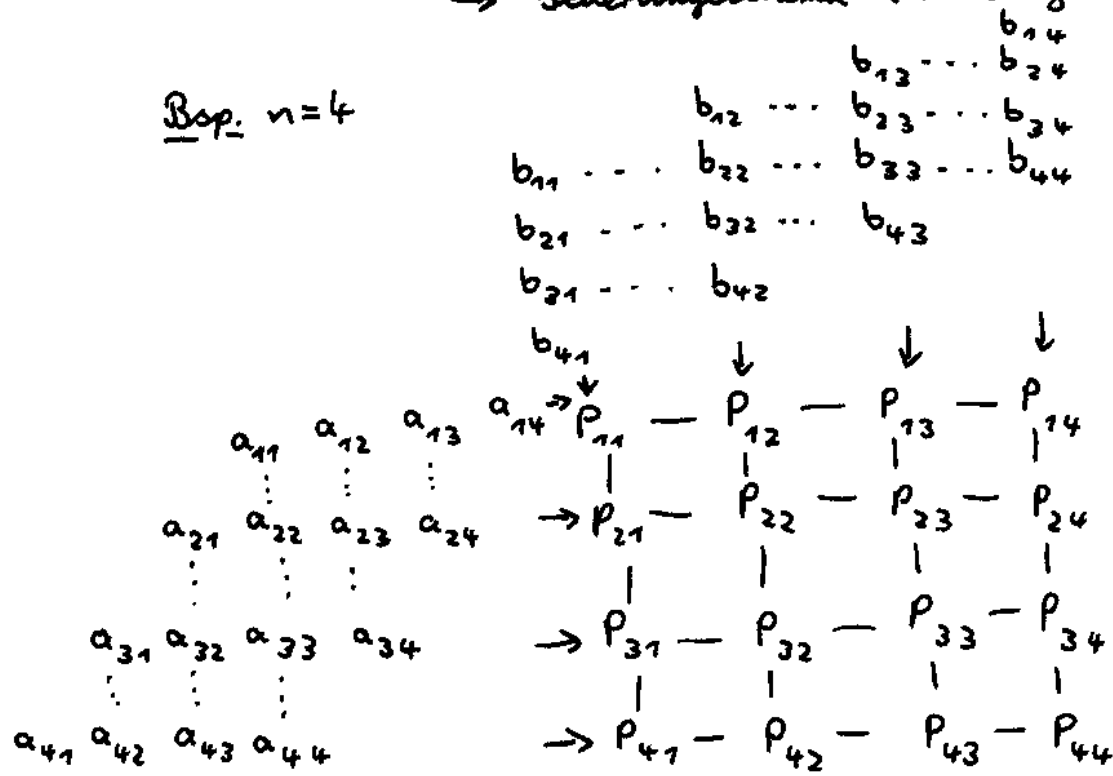
Eingabe der Matrizen A und B erfolgt über
Randprozessoren.

Eingabe von A zeilenweise verschoben

Eingabe von B spaltenweise verschoben

→ Scherungsschema (skewing scheme)

Bsp. $n=4$



Die Zeile i der Matrix A wird einen Schritt später als die Zeile $i-1$ ($2 \leq i \leq n$) eingelesen.

Analog wird Spalte j einen Schritt später als Spalte $j-1$ ($2 \leq j \leq n$) eingelesen.

Die versetzte Eingabe sichert, dass die Matrixelemente a_{ik} und b_{kj} im Schritt $i + (j-1) + (n-k)$ gleichzeitig den Prozessor P_{ij} erreichen. — 26 —

Wenn ein Prozessor die Eingaben a und b erhält, berechnet er $c \leftarrow c + a * b$ und schickt a horizontal an den rechten Nachbarn und b vertikal an den unteren Nachbarn weiter.

Analyse: Die Elemente a_{n1} und b_{1n} sind die letzten, die Proz. P_{nn} erreichen. Dazu werden

$$\begin{array}{ccc} n & + & (n-1) & + & (n-1) & = & 3n-2 & \text{Schritte benötigt.} \\ \downarrow & & \downarrow & & \downarrow & & & \\ i & & j & & k & & & \end{array}$$

\Rightarrow parallele Laufzeit: $O(n)$
parallele Kosten: $O(n^3)$

Variation dieses Verfahrens für Torus statt Gitter nach Gentleman 78, Cannon?

Die Matrizen O und L seien elementweise auf Torusstruktur verteilt, d.h. P_{ij} enthalte a_{ij} und b_{ij} .

1. Verschiebung der Matrizen, damit El. der a_{ik} und b_{kj} auf P_{ij} liegen. Dazu: Rotiere i -te Zeile von O um $i-1$ Pos. nach links. Rotiere j -te Spalte von L um $j-1$ Pos. nach oben.

2. Schrittweises Multiplizieren und Aufaddieren sowie Rotation der Zeilen von O um eine Pos. nach links/rechts. Rotation der Spalten von L um eine Pos. nach oben/unten.

3.2.3 Hypercube-Multiplikation

[Debel, Nassim, Sahni 1981]

n^3 Proz., $O(\log n)$ par. Laufzeit

Grundidee: Verteilung der n^3 zu multiplizierenden Paare (a_{ij}, b_{jk}) auf die n^3 Proz., so dass alle Mult. parallel in einem Schritt durchgeführt werden können.

Logarithmische Laufzeit durch Broadcast zum Umschichten der Matricelemente sowie Summation der Produkte (\rightarrow Reduktion).

Sei $n = 2^q$. Die $n^3 = 2^{3q}$ Prozessoren P_r werden in einem $(n \times n \times n)$ -Gitter angeordnet. Proz. P_r wird die Adresse (i, j, k) zugeordnet, wobei r eine Binärzahl mit $3q$ Bits ist und

$$r = \underbrace{r_{3q-1} \dots r_{2q}}_{\Rightarrow i} \underbrace{r_{2q-1} \dots r_q}_{\Rightarrow j} \underbrace{r_{q-1} \dots r_0}_{\Rightarrow k}$$

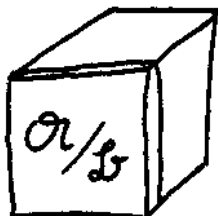
$$\text{d. h. } r = i \cdot 2^{2q} + j \cdot 2^q + k = in^2 + jn + k \\ \text{für } i, j, k \in \{0, \dots, n-1\}$$

Proz. $P_{(i,j,k)}$ habe lokale Register $A(i,j,k)$, $B(i,j,k)$, $C(i,j,k)$

$$\text{Initialisierung: } \left. \begin{array}{l} A(0,j,k) = a_{jk} \\ B(0,j,k) = b_{jk} \end{array} \right\} 0 \leq j, k \leq n-1$$

Alle anderen Reg. seien leer.

Ziel des Alg.: Am Ende gilt: $C(0,j,k) = c_{jk} = \sum_{i=0}^{n-1} a_{ji} \cdot b_{ik}$



Der Algorithmus hat 4 Phasen:

- 1 Verteilen der Matrixelemente im Hypercube
- 2 Umspeicherung der Matrixelemente
- 3 parallele Multiplikation in allen PEs
- 4 Akkumulation und Summation der Produkte

Phase 1

Kopiere $A(0, j, k)$ nach $A(i, j, k)$ für alle $1 \leq i \leq n-1$.

Kopiere $B(0, j, k)$ nach $B(i, j, k)$ für alle $1 \leq i \leq n-1$.

→ paralleler Broadcast in 1. Dimension des Würfels

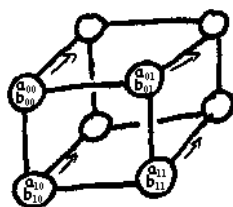
```

for l := 0 to q-1 do in parallel
  if  $\text{bit}_{3q-1-l}$  (Processorindex) = 0
    then sende A- und B- Register
      an Nachbarn mit  $\text{bit}_{3q-1-l} = 1$ 
  else empfangen A- und B- Reg.wert
      von Nachbarn mit  $\text{bit}_{3q-1-l} = 0$ 
  
```

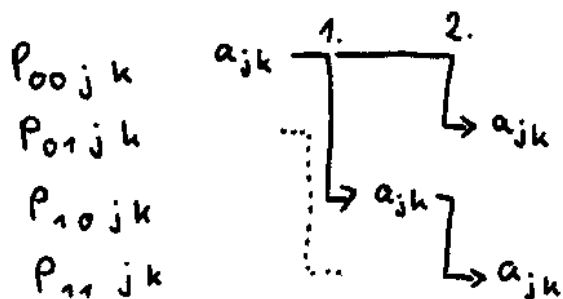
⇒ 2q Schritte

Jeder zweite Prozess sendet, die anderen empfangen

Bsp. $n=2, q=1 \rightsquigarrow$ Hypercube der Dim 3



$n=4, q=2 \rightsquigarrow$ Hypercube der Dim 6
4x4x4 Würfel



2. Phase: Umspeichern der Matrixelemente im Hypercube

Broadcast von a_{ji} aus $A(i, j, \underline{i})$ nach $A(i, j, k)$

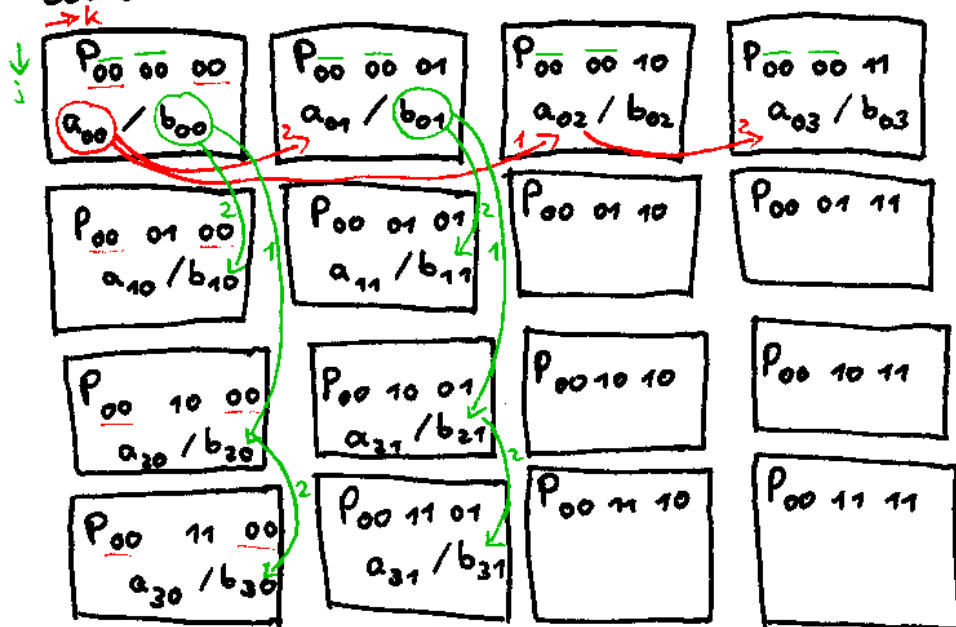
für alle $0 \leq k < n$

Broadcast von b_{ik} aus $B(i, \underline{i}, k)$ nach $B(i, j, k)$

für alle $0 \leq j < n$

Bsp. $n=4, q=2 \rightarrow \text{Dim } 6$

Ebene $i=00$



im Bsp.: Verteilung der 1. Spalte von O_L
Verteilung der 2. Spalte von L

Situation nach Umspeicherung:

$P(i, j, k)$ enthält a_{ji} und b_{ik}

3. Phase: Skalare Multiplikation

Alle PEs führen parallel den Schritt

$$C(i, j, k) = \underbrace{A(i, j, k)}_{a_{ji}} \times \underbrace{B(i, j, k)}_{b_{ik}} \text{ aus.}$$

4. Phase: Parallele Reduktion der n^2 Summen

$$c_{jk} = \sum_{i=0}^{n-1} a_{ji} \cdot b_{ik}$$

zur Ebene $i=0$.

for $l := 0$ to $q-1$ do

if $r_{2q+l} = 1$

then sende C-Reg. an Prozessornachbarn mit $r_{2q+l} = 0$.

else empfangen C-Reg. vom Nachbarn
und addiere diesen Wert zu lokalem C-Reg.

$\Rightarrow q$ Schritte.

Ergebnis: c_{jk} steht im Reg. C $(0, j, k)$.

Laufzeitanalyse:

$$T(n) = O(\underbrace{2q}_{\text{Phase 1}} + \underbrace{2q}_2 + \underbrace{1}_3 + q) = O(q) = O(\log n)$$

$$\text{Kosten: } O(n^3 \log n)$$

21.06.2007

3.3 Matrix-Inversion

wichtige Grundop., insbesondere Lösung linearer Gleichungssysteme.

$$Ax = b \quad \Leftrightarrow \quad x = A^{-1}b$$

falls A^{-1} existiert

im folgenden: exakter, paralleler Inversionsalg. in $O(\log^2 n)$ Schritten.

Grundbegriffe aus der linearen Algebra:

- charakteristisches Polynom einer Matrix A

$$\begin{aligned} \chi(\lambda) &= \det(A - \lambda I_n) \\ &= \lambda^n + c_1 \lambda^{n-1} + \dots + c_{n-1} \lambda + c_n \\ &= \lambda^n + \sum_{i=1}^n c_i \lambda^{n-i} \end{aligned}$$

Die Nullstellen von χ heißen Eigenwerte von A .

Es gilt: A ist invertierbar $\Leftrightarrow c_n \neq 0$.

Satz von Cayley-Hamilton

Ist $\lambda^n + \sum_{i=1}^n c_i \lambda^{n-i}$ das char. Polynom der Matrix A ,

so gilt: $A^n + \sum_{i=1}^n c_i A^{n-i} = 0$

Voraussetzung: A^{-1} existiert.

Dann folgt:

$$A^{-1} \left(A^n + \sum_{i=1}^n c_i A^{n-i} \right) = 0$$

$$\Leftrightarrow A^{n-1} + \sum_{i=1}^{n-1} c_i A^{n-i-1} + c_n A^{-1} = 0$$

$$\Leftrightarrow A^{-1} = -\frac{1}{c_n} \left(A^{n-1} + \sum_{i=1}^{n-1} c_i A^{n-i-1} \right)$$

* siehe unten

Damit kann die Inversion von A durch Bestimmung der Potenzen von A und der Koeffizienten des char. Polynoms erfolgen.

1. Berechnung der Potenzen von A

Gegeben sei ein Hypercube mit n^4 Prozessoren.

Ein Hypercube mit n^4 Proz. kann als Hypercube mit n Proz. betrachtet werden, dessen Knoten nicht einzelne Proz., sondern Hypercubes mit je n^3 Proz. sind.

\leadsto Hypercubes H_0, \dots, H_{n-1}

Zwischen je zwei ~~Knoten~~ benachbarten Knoten des logischen n -Hypercubes existieren entsprechend n^3 „parallele“ Verbindungen zwischen den entsprechenden Proz. der Knotenhypercubes.

Ziel: Berechnung von A^i in H_i .

Sei $i = i_{q-1} \dots i_0$, falls $q = \log n$

Algorithmus:

Lade A nach H_0

und broadcaste A zu allen H_i mit $i_0 = 1$.

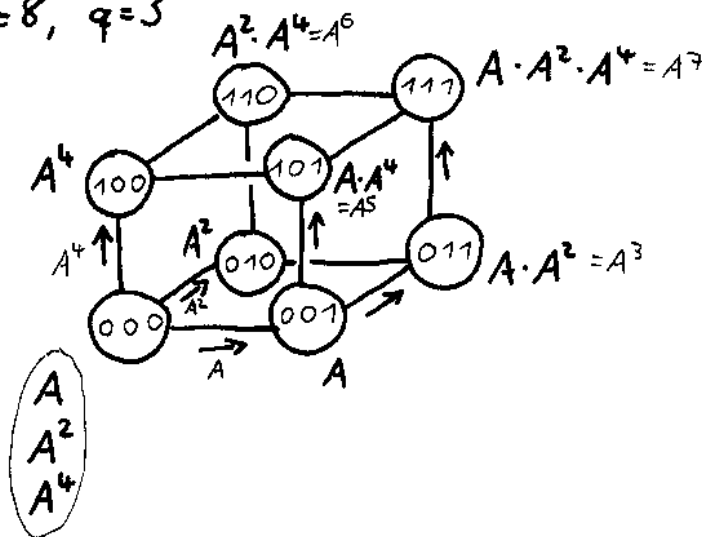
for $j = 1$ to $q-1$ do

quadriere Inhalt von H_0 ($\rightarrow A^{2^j}$)

broadcaste Inhalt von H_0 zu allen H_i mit $i_j = 1$

multipliziere in den H_i mit $i_j = 1$ die aktuelle
Matrixpotenz mit A^{2^j}

Bsp. $n=8, q=3$



Aufwandsanalyse

- Matrix-Mult. in Knoten-HCs: $O(\log n)$ DNS
- for-Schleife: $\underbrace{O(\log n)}_{\# \text{ Schleifendurchläufe}} \cdot \underbrace{O(\log n)}_{\text{Schleifenrumpf}} = O(\log^2 n)$

Berechnung der gewichteten Matrixsumme aus \otimes :

- Broadcast des Koeffizientenvektors an alle H_i ($1 \leq i < n$): $O(\log n)$
- Broadcast von c_i innerhalb der H_i : $O(\log n)$ $O(\log n)$
- skalare Multiplikation: $O(1)$
- Addition der gemischten Matrizen: $O(\log n)$

4. Parallele Suche

Unterscheide

a Entscheidungsprobleme

→ Erfüllen einer Menge von Bedingungen

Bsp. n-Damenproblem

Formulierung als Suche in Baumstrukturen
(state space trees)

Standardverfahren: Backtracking = Depth First Search

Unterscheide:

- Finden einer Lösung
- Finden aller Lösungen

b Optimierungsprobleme

→ zusätzlich: Minimierung/Maximierung einer Zielfkt.

Bsp. 0/1-Rucksackproblem

Standardverfahren: Branch & Bound

→ Beschneidung des Suchbaums durch
Ausschließen von Teilbäumen (Pfad),
deren Lösungen schlechter als die bisher
gefundene beste Lösung sind.

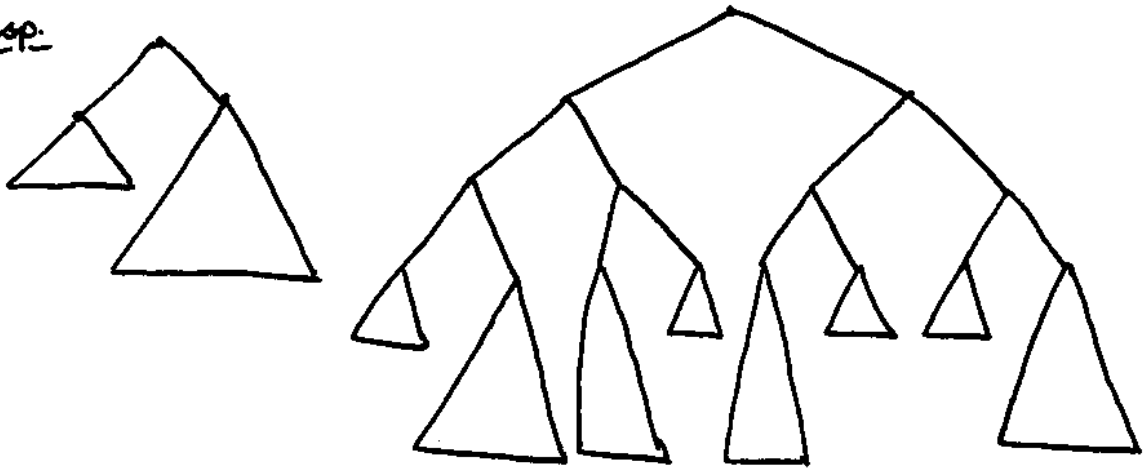
Grundidee paralleler Baumsuchverfahren

Suchbaum parallel durch mehrere Prozessoren durchlaufen

⇒ Mehraufwand

- * notwendige Kommunikationen bzw. Konflikte
beim Zugriff auf gemeinsame Datenstrukturen
- * redundante Arbeit bzw. Leerlaufzeiten bei
Lastungleichheit

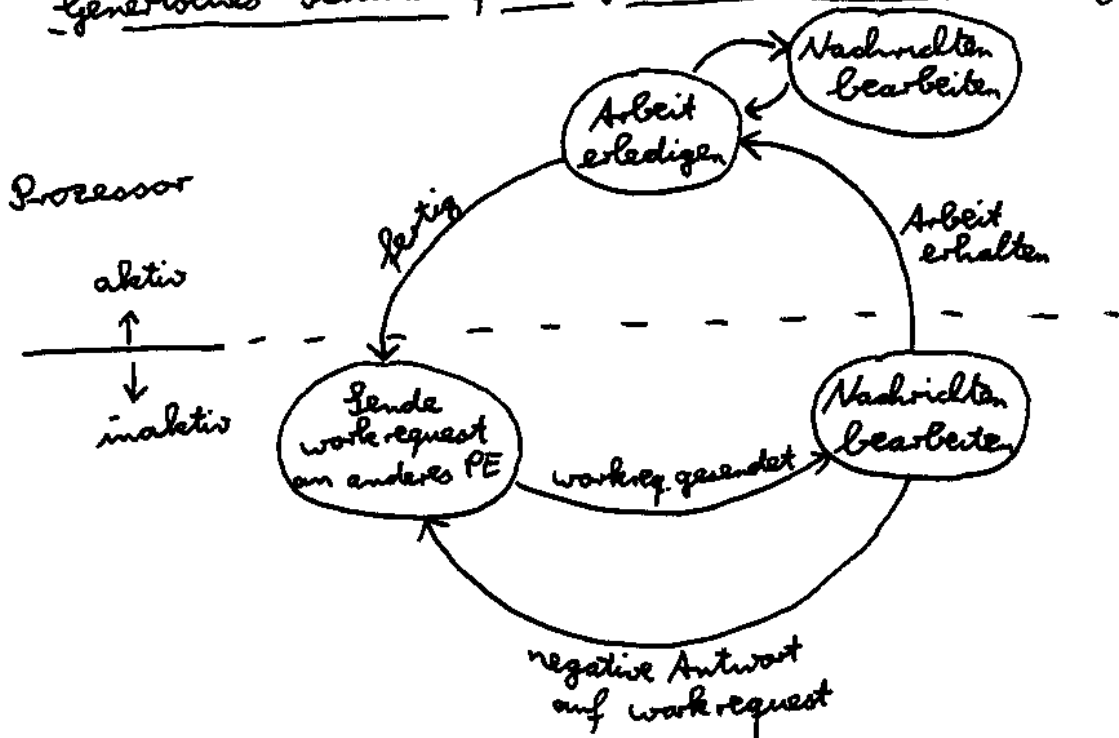
Bsp.



Besser: dynamische Lastverteilung

Grundidee: Arbeitslose Prozessoren fordern Arbeit von zentraler Verwaltung (\rightarrow Manager / Master) oder anderen Prozessoren \rightarrow Master-Worker-Schema

Generisches Schema für dynamische Lastverteilung



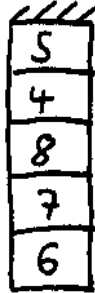
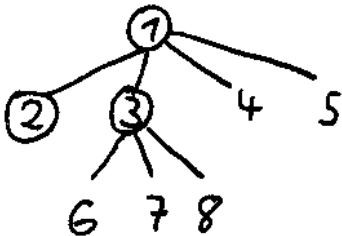
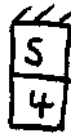
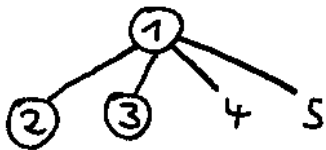
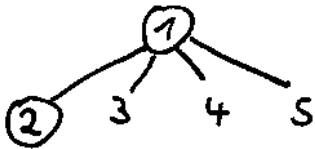
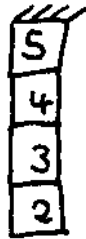
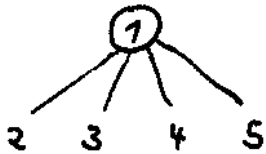
Leitende Aspekte

- 1 Aufteilen der Arbeit bei eintreffender Anfrage arbeitsloser Prozessoren
- 2 Bestimmung des Proz., an den workrequest geschickt wird.

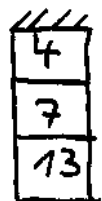
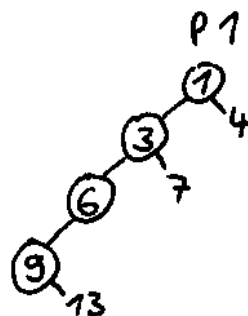
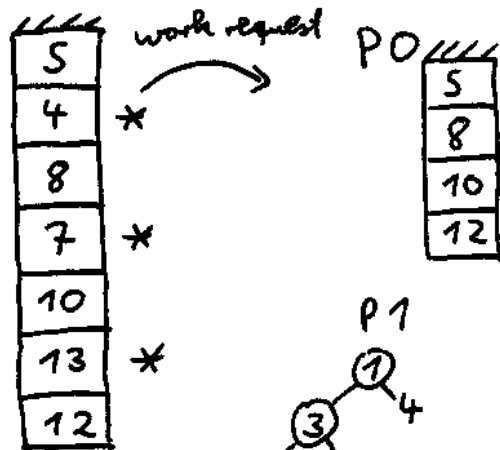
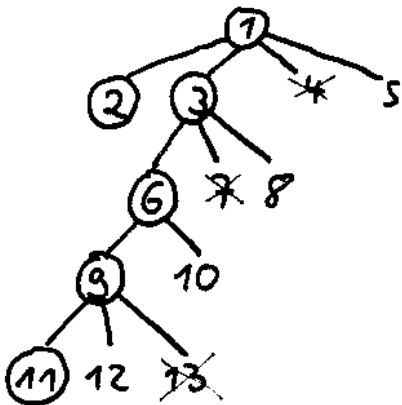
ad 1 paralleles Backtracking mit
expliziter Stackverwaltung

→ Arbeitsaufteilung durch Stack splitting,
meist half split.

Bsp. Stack splitting



...



Um das Verschicken zu kleiner Arbeitspakete zu vermeiden, werden Knoten jenseits einer vorgegebenen Tiefe (= cutoff depth) nicht mehr verschickt.

05.07.2007

ad 2 Lastbalancierungsstrategien

* Asynchrones Round Robin

Jeder Prozess verwaltet eine lokale Variable `req_id` mit der Id des Prozesses, der als nächstes nach Arbeit gefragt werden soll. Nach Senden einer Arbeitsanforderung wird `req_id` um 1 (mod #Proz.) erhöht.

Nachteil: evtl. mehrere Workreqs an denselben Prozess.

* Globales Round Robin

Prozess 0 verwaltet globale Var. `req_id`. Arbeitslose Prozessoren müssen vor `workrequest` Wert von `req_id` erfragen.

Nachteil: Globale Var. `req_id` wird schnell zum Engpass.

* Random Polling

Zufällige Auswahl der Adressaten von `work requests`.

Problem: Terminationserkennung, falls nach erster gefundener Lösung gestoppt werden soll.

`MPI_FINALIZE` sollte z.B. von allen Prozessen erst ausgeführt werden, wenn alle Nachrichten empfangen wurden, sonst Laufzeitfehler.

Dijkstras Token-Verfahren

Ziel: Feststellung, ob

1 alle Prozesse ohne Arbeit

2 keine Nachrichten mehr unterwegs

Prozesse und umlaufendes Token erhalten
Nachrichtenzähler.

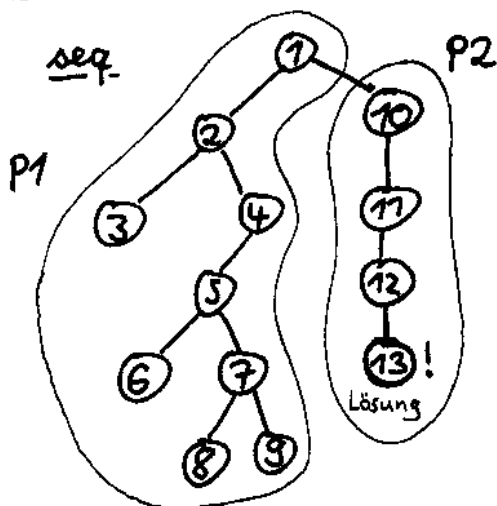
In den Prozessen gibt der Zähler jeweils die
gesendeter Nachrichten minus # empfangener
Nachrichten an. Das Token akkumuliert die
Zähler der Prozesse.

Jeder Prozess und das Token erhalten die Farbe
weiß oder schwarz. Schwarz bedeutet „es ist
noch Arbeit geleistet worden.“

Siehe Anhang B: Figure 16.8: Dijkstra et al.'s algorithm

Speedup-Anomalien

Bsp. superlinearer Speedup



$$\left. \begin{array}{l} T_1 = 13 \\ T_2 = 4 \end{array} \right\} S_2 = 3,25 > 2$$

sublinearer Speedup

obiges Bsp. mit Lösung im Knoten 6

$$\left. \begin{array}{l} T_1 = 6 \\ T_2 = 6 \end{array} \right\} S_2 = 1 < 2$$

Paralleles Branch & Bound

* Priority queue

* optimale Lösung muss gefunden werden

globale 'priority queue' (PQ) wird schnell zum Engpass

→ Verwaltung einer PQ pro Prozess

Problem: Eventuell bearbeiten Prozesse global ungünstige

Teilprobleme.

Siehe Anhang C: Figure 16.16: Parallel branch-and-bound algorithm

5. Graphenalgorithmen

5.1 Grundbegriffe

Def. 5.1 Ein endlicher Graph $G = (V, E)$

besteht aus einer endlichen Knotenmenge V (vertices) und einer endlichen Menge E von Kanten (edges),
 $E \subseteq V \times V$.

Def. 5.2 (Adjazenzmatrix)

Sei $G = (V, E)$ mit $V = \{v_0, \dots, v_{n-1}\}$.

Die Einträge a_{ij} , $0 \leq i, j \leq n-1$,

der $n \times n$ -Adjazenzmatrix von G sind def.

durch

$$a_{ij} := \begin{cases} 1 & \text{falls } (v_i, v_j) \in E \\ 0 & \text{sonst} \end{cases}$$

Ein Graph heißt ungerichtet, falls zu jedem $(v, v') \in E$ auch $(v', v) \in E$, ansonsten gerichtet.

G heißt gewichtet, falls jeder Kante mittels einer

Gewichtsfkt. $w: E \rightarrow \mathbb{R}_0^+$

eine nicht-negative reelle Zahl zugeordnet ist.

w kann zu $\tilde{w}: V \times V \rightarrow \mathbb{R}_0^+ \cup \{\infty\}$

ergänzt werden:

$$\tilde{w}(v_i, v_j) = \begin{cases} w(v_i, v_j) & \text{falls } (v_i, v_j) \in E \\ \infty & \text{sonst} \end{cases}$$

Eine Folge von Kanten $(v_{i_1}, v_{i_2}) (v_{i_2}, v_{i_3}) \dots (v_{i_k}, v_{i_{k+1}})$

heißt

- Pfad, falls alle Knoten $v_{i_1}, \dots, v_{i_{k+1}}$ verschieden sind.

- Zykel, falls $v_{i_{k+1}} = v_{i_1}$ und $v_{i_1}, \dots, v_{i_{k+1}}$ voneinander verschieden sind.
- Weg, falls alle Kanten voneinander verschieden sind

Ein Graph heißt azyklisch, falls er keinen Zykel enthält.

Ein Graph (V', E') heißt Subgraph von $G = (V, E)$, falls $V' \subseteq V$ und $E' \subseteq E$.

Ein ungerichteter Graph heißt zusammenhängend, falls zu je zwei Knoten v_i und v_j ein Pfad von v_i nach v_j existiert.

11.07.2007

5.4.2. Bestimmung von Zusammenhangskomponenten

Siehe auch Anhang D: Zusammenhangskomponenten.

Zusammenhangskomponenten:

minimale Teilmenge zusammenhängender Subgraphen

1. Verfahren: Zurückführung auf Matrixmultiplikationen

Die $n \times n$ -Zusammenhangsmatrix

$$C = (c_{ij})_{0 \leq i, j < n}$$

wird def. durch

$$c_{ij} = \begin{cases} 1 & \text{falls } v_i \text{ und } v_j \text{ durch einen Weg} \\ & \text{der Länge } \geq 0 \text{ verbunden sind} \\ 0 & \text{sonst} \end{cases}$$

C ergibt sich als reflexiver, transitiver Abschluss der Adjazenzmatrix unter der Booleschen Matrixmultiplikation, bei der als Multiplikation die

Konjunktion und als Addition die Disjunktion verwendet wird.

Statt $c_{ij} = \sum_{k=0}^{n-1} a_{ik} \cdot b_{kj}$ wird

$$c_{ij} = \bigvee_{k=0}^{n-1} (a_{ik} \wedge b_{kj}) \text{ berechnet.}$$

Anstelle der Adjazenzmatrix wird die auf der Diagonalen modifizierte Matrix B verwendet:

$$B = (b_{ij})_{0 \leq i, j \leq n-1}$$

$$b_{ij} = \begin{cases} a_{ij} & \text{falls } i \neq j \\ 1 & \text{falls } i = j \end{cases} \Leftarrow \text{reflexiver Abschluss}$$

Für die Matrix B gilt:

$$b_{ij} = \begin{cases} 1 & \text{falls es einen Weg der Länge} \\ & 0 \text{ oder } 1 \text{ von } v_i \text{ nach } v_j \text{ gibt} \\ 0 & \text{sonst} \end{cases}$$

Für die Einträge der k -ten Potenz von B mit Boolescher MM gilt

$$(b_{ij})^k = \begin{cases} 1 & \text{falls es einen Weg der Länge } \leq k \\ & \text{von } v_i \text{ nach } v_j \text{ gibt} \\ 0 & \text{sonst} \end{cases}$$

Satz 6.1 Für die Zusammenhangsmatrix C gilt:

$C = B^{n-1}$, wobei n die Anzahl der Knoten sei.

Beweis: Falls v_i und v_j durch einen Weg verbunden sind, existiert auch ein Weg der Länge $\leq n-1$.

Würde es nur Wege der Länge $> n-1$ geben,

so würde mindestens ein Knoten mehrfach durch-

laufen und der Weg würde einen Zykel enthalten, der entfernt werden könnte.

Sei o.B.d.A. $n-1$ Zweierpotenz.

Dann kann C in $\log(n-1)$ Booleanen MM berechnet werden.

Mit Hypercube-MM hätte man einen parallelen Aufwand von $O(\log^2 n)$ auf n^3 Proz.

Algorithmus von Hirschberg (1976)

Siehe auch Anhang D: Hirschberg-Algorithmus

Grundidee: Zusammenfassen von verbundenen Knoten zu Superknoten, bei jeder Superknoten einer Zusammenhangskomponente entspricht.

Modell: CREW-PRAM

Komplexität: $O(\log^2 n)$ mit $O(n^2)$ Proz.

$n = \#$ Knoten im Graphen

Eingabe: Adjazenzmatrix A , $V = \{1, \dots, n\}$

Ausgabe: Vektor C der Länge n , so dass $c(i) = c(j) = k$, falls i und j in derselben Zshgskomp. und k ist der "kleinste" Knoten der Zshgskomp.
= Index

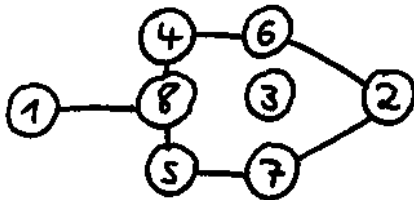
Der Algorithmus iteriert 3 Phasen $\log n$ -mal.

- 1.) Finde zu jedem Knoten den benachbarten Superknoten mit kleinstem Index.
2. Verbinde die Wurzel jedes Superknotens (= Knoten mit kleinstem Wert) mit der Wurzel des benachbarten Superknotens, mit dem kleinsten Index

3. Alle neu verbundenen Superknoten werden zu einem neuen Superknoten zusammengefasst.

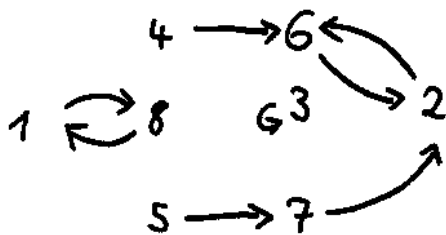
12.07.2007

Bsp.



i	1	2	3	4	5	6	7	8
$C(i)$	1	2	3	4	5	6	7	8
$B(i)=T(i)$	8	6	3	6	7	2	2	1

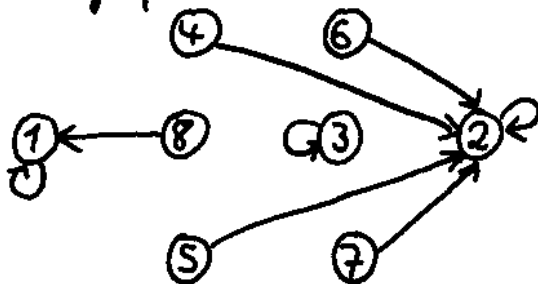
→ T-graph



nach Phase 3 (1. Iteration)

	1	2	3	4	5	6	7	8
$T(i)$	1	2	3	2	2	6	6	8
$C(i)$	1	2	3	2	2	2	2	1

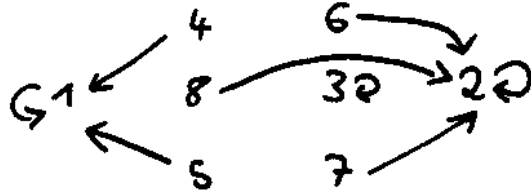
→ C-graph



2. Iteration

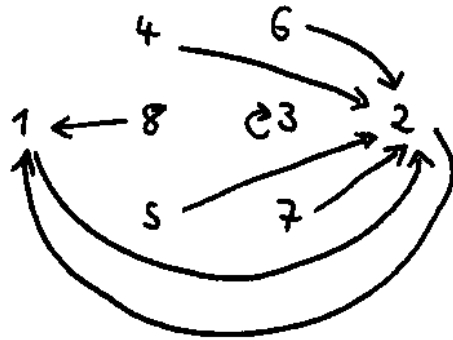
1. Phase	1	2	3	4	5	6	7	8
T(i)	1	2	3	1	1	2	2	2

→ T-Graph



2. Phase

T(i)	2	1	3	2	2	2	2	1
------	---	---	---	---	---	---	---	---



3. Phase

C(i)	1	1	3	1	1	1	1	1
------	---	---	---	---	---	---	---	---

5.3 Minimal spannende Bäume

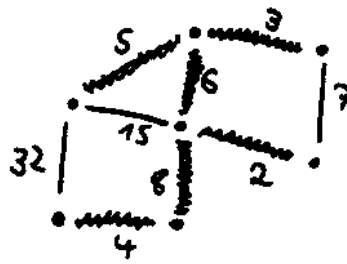
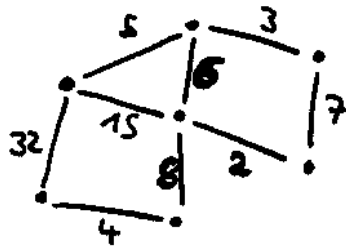
Def. Ein Baum ist ein zusammenhängender, ungerichteter, azyklischer Graph.

Ein spannender Baum eines Graphen G ist ein Subgraph, der alle Knoten von G umfasst und ein Baum ist.

In einem gewichteten Graphen ist ein minimal spannender Baum (MST) ein spannender Baum mit

der minimalen Summe von Kantengewichten.

Bsp.



Falls $|V| = n$, so hat ein MST nach Def.

$n-1$ Kanten.

Da jede der potentiellen $\frac{n(n-1)}{2}$ Kanten mindestens einmal betrachtet werden muss,

ist die untere Grenze der Laufzeit eines seq.

Alg. zur Bestimmung eines MST $\Omega(n^2)$.

klassische Verfahren:

1956	Kruskal	$O(n^2)$
1957/59	Prim-Dijkstra	$O(n^2)$
1977	Sollin	$O(n^2 \log n)$

Siehe Anhang E: Algorithmus von Prim, Algorithmus von Sollin

7. Verteilte Algorithmen

parallele Alg.	vs.	verteilte Alg.
mehere, oft gleichartige Prozesse		mehere Prozesse
Kommunikation: gem. Speicher oder Nachrichten		Kommunikation über Nachrichten
Zweck: Beschleunigung		Zweck: Kooperation

Phänomene verteilter Berechnungen

- * Mehrere Prozesse können niemals gleichzeitig beobachtet werden
- ↳ Aussagen über den globalen Zustand sind schwierig

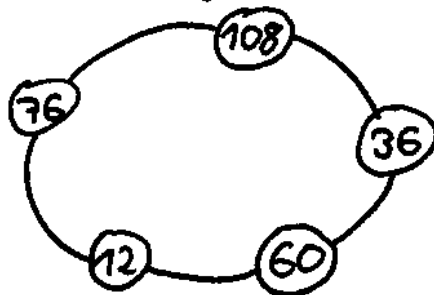
typische Probleme:

Siehe auch Anhang F: Verteilte Terminierung

- * Terminationserkennung
- * Schnappschussproblem
- * Deadlockerkennung
- * Leader Election...

18.07.2007

Bsp. verteilte Berechnung des ggT

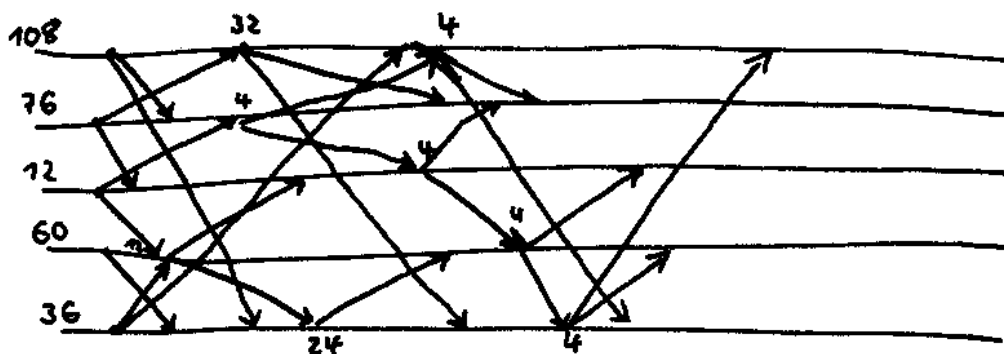


- Ansatz:
- Initial Nachbarn informieren
 - danach nur auf Nachrichten reagieren
 - neue Erkenntnisse an alle Nachbarn senden

$P_i : \{ \text{Nachricht } \langle y_i \rangle \text{ trifft ein} \}$

atomar $\left\{ \begin{array}{l} \text{if } y_i < M_i \text{ then} \\ M_i := \text{mod}(M_i - 1, y_i) + 1 \\ \text{sende } \langle M_i \rangle \text{ an alle Nachbarn} \end{array} \right.$
 $\underline{f_i}$

Visualisierung einer mögl. Berechnung



Abstraktes Modell verteilter Berechnungen

Algorithmen als Folge von Aktionen

zwei Arten von Aktionen:

* interne Aktionen

$I_p : \{ \text{Bedingung} \}$

| lokale Zustandsübergang
oder Nachrichten senden

$M_p : \{ \text{Nachricht } \langle M \rangle \text{ trifft ein} \}$

| lokale Zustandsübergang.
oder Nachrichten senden

7.1 Der Echo-Algorithmus (Chang '82)

paralleler Durchlauf eines bel. zshg. Graphen

→ Verteilen Info des Initiators an alle Knoten

→ Durch Echos Rückfluss von Infos möglich

Echo-Nachrichten durchlaufen einen spannenden

Baum des Graphen

Grundidee: Ein Prozess sendet Echo (Quittung)
erst dann, wenn er für alle von ihm versendeten
Nachrichten Quittungen erhalten hat.

Spezifikation über zwei atomare Aktionen:

$I_i : \{ \neg \text{informed} \}$

initiator := true

informed := true

$N := 0$

send <INFO> to neighbours

$X_i : \{ \text{receive } \langle \text{INFO} \rangle \text{ or } \langle \text{ECHO} \rangle \text{ from } p \}$

if \neg informed

then informed := true "rot werden"

$N := 0$; Pred := p;

send <INFO> to neighbours \ {p}

fi

$N := N + 1$;

if $N = |\text{neighbours}|$

then informed := false "grün werden"

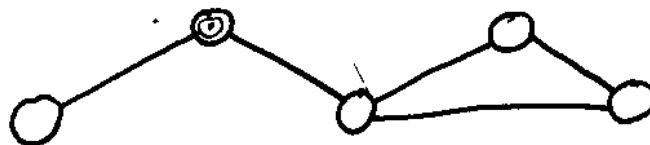
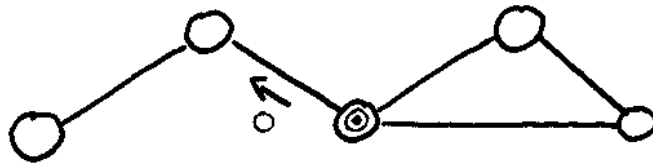
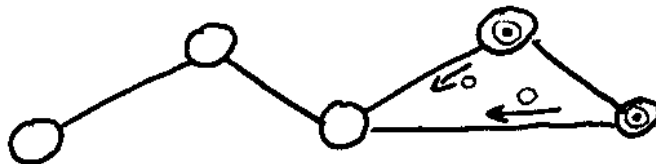
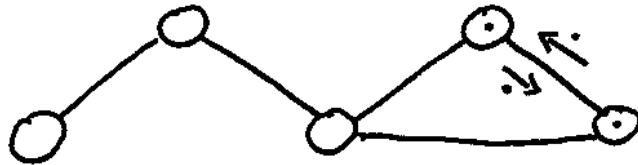
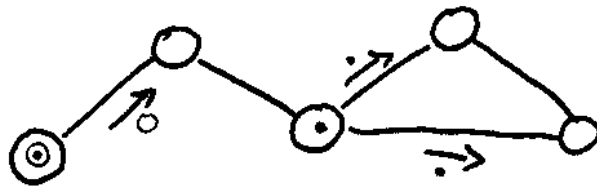
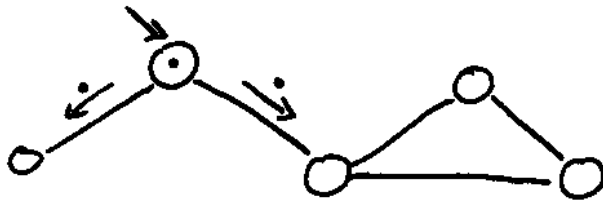
if initiator then 'terminated'

else send <ECHO> to Pred

fi

fi

Bsp.



wichtig:

- 1 Initiator
- über jede Graphkante laufen genau zwei Nachrichten

- 2 Wellen

Hinwelle „rot werden“

Rückwelle „grün werden“



Methods for Exhaustive Searching

Yolanda Ortega-Mallén

Dept. Sistemas Informáticos y Computación

Universidad Complutense de Madrid

Contents

- ⑥ Example: 8-Queens Problem
 - ⑥ Solutions Space → Exploration Trees
 - ⑥ Backtracking
 - ⑥ Branch-and-Bound
 - ⑥ Bibliography
-

The 8-Queens Problem

Try every possibility:

- ⊗ Each queen is tried at each square:
Comb(64,8)= 4.426.165.368 !!!
- ⊗ Queens must be set in different rows:
 $8^8 = 16.777.216$
- ⊗ Queens must be set in different rows and different columns:
 $8! = 40.320$
- ⊗ At stage i set a queen in the i -row.
If it generates a threat then abort this solution:
 $\sum_{i=1}^8 8^i = (8^{8+1} - 1)/(8 - 1) = 19,173,961$ (partial) states,
only 15.721 are analyzed, just 2.057 are found *promising*

Solution Spaces

The last recourse to solve certain problems is the exhaustive searching of the whole space of possible solutions.

- ⊗ Impracticable if the solution space is huge → structure the searching to discard big blocks of unsatisfactory solutions.
- ⊗ Constructing the solution by steps: (x_1, \dots, x_n)
 $x_i \in S_i$ represents the decision taken at i -step.
The solution must satisfy/optimize a criterion function
 - ⊗ Explicit restrictions : define the sets S_i .
 - ⊗ Implicit restrictions : relations among the components x_i to satisfy the criterion function.

Exploration Trees

The set of tuples satisfying the explicit restrictions is structured as an exploration tree.

- ⊗ at each level of the tree the decision of the corresponding step is taken.
 - ⊗ State node: tuple (partial or complete) satisfying the explicit restrictions.
 - ⊗ Solution node: complete tuple satisfying the explicit and implicit restrictions.
- ⊗ Pruning the tree: obtain a promising test from the criterion function to determine if a state node cannot lead to a solution \Rightarrow discard this branch of the exploration tree.

Example: The n -Queens Problem

- ⊗ Solutions: n -tuples (x_1, \dots, x_n)
where $x_i =$ column occupied by queen in row i
 - ⊗ Explicit restrictions: $x_i \in [1..n]$
 - ⊗ Implicit restrictions:
Queens share neither column nor diagonal
 $i \neq j \Rightarrow ((x_i \neq x_j) \wedge |x_i - x_j| \neq |i - j|)$
 - ⊗ Exploration tree:
Permutations tree with $\sum_{i=1}^n n^i$ state nodes
 - ⊗ Solution nodes: at leaves
-

Exploration Tree Traversal

The exploration tree is traversed in a certain order:
find the first solution, find every solution, find the best solution.

- For each node of the tree its children are generated.
 - Alive node: there are still children to be generated.
 - Expanding node: its children are being generated.
 - Dead node: cannot be expanded
 - It does not satisfy the promising test, or
 - All its children have been generated.
 - Possible traversals:
 - Backtracking: depth-first traversal → alive nodes are managed with a stack ⇒ Simple and space efficient.
 - Branch-and-Bound: the *most promising* alive node is expanded
→ alive nodes are managed with a priority queue.
-

Time Costs

- The worst case cost is in the order of the solution space size
⇒ usually is at least exponential.
 - Only practical if the pruning is effective:
 - detect as many nonpromising nodes as possible
→ the upper in the tree the better
 - moderate cost of computation
→ the pruning must compensate the effort
 - Very difficult to estimate theoretically beforehand
⇒ empirical measures
-

②

Backtracking: The General Recursive Scheme

```

proc backtracking(in/out sol : tuple, in k : integer)
  prepare-run-level(k)
  while ¬last-child-level(k) do
    sol[k] := next-child-level(k)
    if is-solution?(sol, k) then
      handle-solution(sol)
    else
      if is-promising?(sol, k) then
        backtracking(sol, k + 1)
      endif
    endif
  ewhile
eproc

```

Backtracking: The *n*-Queens Problem (I)

```

proc queens-BT(solution[1..n], k)
  for column = 1 to n do
    solution[k] := column
    if ¬threat(solution, k) ∧ k = n { is-solution? } then
      print(solution)
    else
      if ¬threat(solution, k) { is-promising? } then
        queens-BT(solution, k + 1)
      endif
    endif
  efor
eproc

```

⊛ initial call: queens-BT(*solution*, 1)

Backtracking: The n-Queens Problem (II)

Procedure to test threat:

```
{ there is no threat in solution[1..k - 1] }  
fun threat(solution[1..n], k) return yes  
  yes := false ; j := 1  
  while j ≠ k ∧ ¬yes do  
    yes := (solution[k] = solution[j])  
           ∧ (|solution[k] - solution[j] = k - j)  
    j := j + 1  
  ewhile  
efun  
{ yes ⇔ there is a threat in solution[1..k] }
```

Backtracking: Saving time by Marking

- ⑥ The promising test can be too much time consuming.
 - ⑥ Time can be saved with extra memory space. Associate to each node information relative to *partial computations* of the promising test.
 - ⑥ This technique is denominated marking.
 - ⑥ Can be implemented with in/out parameters ⇒ minor space increase.
-

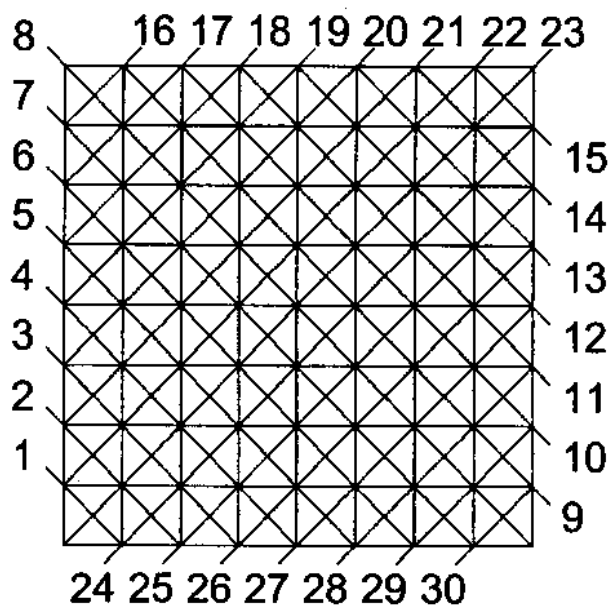
Backtracking with Marking: The n -Queens Problem

Each cell *threatens* one row, one column, and two diagonals:

- Keep a boolean array with the cells that are already threatened.
 - space cost: an array of size $n \times n$.
 - time cost: linear with respect to the size of the array \Rightarrow There is no improvement!
- Keep two boolean vectors representing columns and diagonals that are already threatened.
 \Rightarrow Numbering of diagonals.

Backtracking with Marking: The n -Queens Problem

Diagonals numbering:



The cell $\langle i, j \rangle$ belongs to the $j - i + n$ descending diagonal and to the $i + j + 2n - 2$ ascending diagonal.

Backtracking with Marking: The n-Queens Problem (II)

```
proc queens-BT-M(sol[1..n], k, C[1..n], D[1..4n - 2])
  for column = 1 to n do
    sol[k] := column
    if  $\neg C[sol[k]] \wedge \neg D[sol[k] - k + n] \wedge \neg D[sol[k] + k + 2n - 2]$  then
      { marking }
      C[sol[k]] := true
      D[sol[k] - k + n] := true ; D[sol[k] + k + 2n - 2] := true
      if k = n then print(sol) else queens-BT-M(sol, k + 1, C, D) eif
      { unmarking }
      C[sol[k]] := false
      D[sol[k] - k + n] := false ; D[sol[k] + k + 2n - 2] := false
    eif
  efor
eproc

proc queens(n)
var sol[1..n], C[1..n], D[1..4n - 2]
  C[1..n] := [false, ..., false]
  D[1..4n - 2] := [false, ..., false]
  queens-BT-M(sol, 1, C, D)
eproc
```

Backtracking: The Recursive Scheme with Marking

```
proc backtracking-with-marking(in/out sol : tuple, in k : integer,
  in/out m : mark)
  prepare-run-level(k)
  while  $\neg$ last-child-level(k) do
    sol[k] := next-child-level(k)
    m := marking(m, sol[k])
    if is-solution?(sol, k) then
      handle-solution(sol)
    else
      if is-promising?(sol, k, m) then
        backtracking-with-marking(sol, k + 1, m)
      eif
    eif
    m := unmarking(m, sol[k])
  ewhile
eproc
```

(3)

Backtracking: Optimization Problems

- ⑥ Keep the best solution found so far, to compare each new solution with it.
- ⑥ Gain efficiency by keeping also the *value* associated to the best solution.
- ⑥ Facilitate the computation of the value associated to a solution by storing the (partial) value associated to each partial tuple (marking).
- ⑥ Extra pruning: when it can be guaranteed that none of the descendants of an expanding node can lead to a better solution than the obtained so far.

Backtracking: The Optimization Recursive Scheme

```
roc backtracking-opt(in/out sol, in k, in/out value, best-sol, best-value)
  prepare-run-level(k)
  while ¬last-child-level(k) do
    sol[k] := next-child-level(k)
    value := update(value, sol, k)
    if solution?(sol, k) then
      if better?(value, best-value) then
        best-sol := sol ; best-value := value
      eif
    else
      if promising?(sol, k) ∧ worth-it?(sol, k, value, best-value) then
        backtracking-opt(sol, k + 1, value, best-sol, best-value)
      eif
    eif
  value := recover(value, sol, k)
ewhile
proc
```

Backtracking: The 0/1 Knapsack Problem (I)

Alternatives for the Solution Space:

- ⑥ Stage i : which object should be introduced after having introduced $i - 1$ objects?
 - △ \Rightarrow tuples with the objects introduced so far.
 - △ Each state node can be considered a solution node.
 - △ The order in the introduction of objects is irrelevant
 \Rightarrow An order between objects can be fixed.

- ⑥ Stage i : should be introduced the i -object?
 - △ \Rightarrow complete binary tree.
 - △ Solution nodes are only at the leaves.
 - △ Explicit restrictions: $x_i \in \{0, 1\}$.
 - △ Implicit restrictions: $\sum_{i=1}^n w_i \cdot x_i \leq M$.

Backtracking: The 0/1 Knapsack Problem (II)

```
{  $V[1]/W[1] \geq V[2]/W[2] \geq \dots \geq V[n]/W[n]$  }
proc knapsack-BT( $W, V, M, sol, k, weight, value, best-sol, best-value$ )
   $sol[k] := 1$  { object is taken - no new estimation is calculated }
   $weight := weight + W[k]; value := value + V[k]$  { mark }
  if  $weight \leq M$  then
    if  $k = n$  then  $best-sol := sol; best-value := value$ 
    else knapsack-BT( $W, V, M, sol, k + 1, weight, value, best-sol, best-value$ ) eif
  eif
   $weight := weight - W[k]; value := value - V[k]$  { unmark }
   $sol[k] := 0$  { object is not taken - no marking, but new estimation is calculated }
   $estimated-value := value + knapsack-greedy(W[k + 1..n], V[k + 1..n], M - weight)$ 
  if  $estimated-value > best-value$  then
    if  $k = n$  then  $best-sol := sol; best-value := value$ 
    else knapsack-BT( $W, V, M, sol, k + 1, weight, value, best-sol, best-value$ ) eif
  eif
eproc

fun knapsack( $W[1..n], V[1..n], M$ ) return ( $best-sol[1..n], best-value$ )
var  $sol[1..n]$ 
   $weight := 0; value := 0; best-value := -\infty$ 
  knapsack-BT( $W, V, M, sol, 1, weight, value, best-sol, best-value$ )
efun
```

Branch-and-Bound

- ⊗ Backtracking (depth-first-search) can get lost in unbounded depth branches
⇒ alternative traversal of the exploration tree.
 - ⊗ Try to find a solution more quickly by exploring first the most promising node.
 - ⊗ For optimization problems we define an estimated value function:
 - ⊗ minimization problems: the estimated value in a node is a lower bound of the value associated to the best solution reachable from the node.
 $\text{estimated-cost}(X) \leq \text{real-cost}(X)$
 - ⊗ When solution nodes are only at leaves usually we have:
 $\text{estimated-cost}(X) = \text{real-cost}(X)$ for X solution node.
 - ⊗ It is expected that nodes with a low estimated cost will lead to solutions with a low real cost
⇒ the alive node with the lowest estimated cost is the most promising.
 - ⊗ The estimated value provides an extra pruning (as in Backtracking).
 - ⊗ maximization problems: $\text{estimated-benefit}(X) \geq \text{real-benefit}(X)$
-

Branch-and-Bound: The Scheme for Minimization

```
fun branch-and-bound-min( $T$  : tree) return ( $best-sol$ ,  $best-cost$ )
var  $X, Y$  : node,  $Q$  : priority-queue
 $Y := \text{root}(T)$  ; create-empty( $Q$ ) ; enqueue( $Q, Y$ )
 $best-cost := +\infty$ 
while  $\neg \text{is-empty}(Q) \wedge \text{estimated-cost}(\text{min-elem}(Q)) < best-cost$  do
   $Y := \text{min-elem}(Q)$  ; dequeue( $Q$ )
  for every child  $X$  of  $Y$  do
    if is-solution?( $X$ ) then
      if  $\text{real-cost}(X) < best-cost$  then
         $best-cost := \text{real-cost}(X)$  ;  $best-sol := X$ 
      elif
    else
      if is-promising?( $X$ )  $\wedge$  ( $\text{estimated-cost}(X) < best-cost$ ) then
        enqueue( $Q, X$ )
      elif
    elif
  efor
ewhile
efun
```

Branch-and-Bound: Optimist-Pessimist (Minimization)

- ⑥ best-cost = cost corresponding to the best solution obtained so far
 - ⇒ only updated when a better solution is found
 - ⇒ initialized with the worst possible value $\rightarrow +\infty$
 - ⇒ little effective until a solution is found, thereafter it improves slowly.
- ⑦ optimist-cost(X) = lower bound for the cost of the best solution that can be ever reached from node X (before estimated-cost(X)).
- ⑧ pessimist-cost(X) = upper bound for the cost of the best solution that can be ever reached from node X .
- ⑨ optimist-cost(X) \leq real-cost(X) \leq pessimist-cost(X)
- ⑩ If the pessimist-cost is used to update the best-cost (even if the solution has still not been found) then the pruning would be more effective.
- ⑪ The cost of any solution reachable from X can be used as pessimist-cost(X).

Branch-and-Bound: Optimist-Pessimist Scheme (Min.)

```
fun bb-opt-pes-min( $T$  : tree) return (best-sol, best-cost)
var  $X, Y$  : node,  $Q$  : priority-queue
 $Y$  := root( $T$ ); create-empty( $Q$ ); enqueue( $Q, Y$ )
best-cost := pessimist-cost( $Y$ )
while  $\neg$ is-empty?( $Q$ )  $\wedge$  optimist-cost(min-elem( $Q$ ))  $\leq$  best-cost do
   $Y$  := min-elem( $Q$ ); dequeue( $Q$ )
  for every child  $X$  of  $Y$  do
    if is-solution?( $X$ ) then
      if real-cost( $X$ )  $\leq$  best-cost then
        best-cost := real-cost( $X$ ); best-sol :=  $X$ 
      eif
    else
      if is-promising?( $X$ )  $\wedge$  (optimist-cost( $X$ )  $\leq$  best-cost) then
        enqueue( $Q, X$ )
        if pessimist-cost( $X$ )  $<$  best-cost then best-cost := pessimist-cost( $X$ ) eif
      eif
    efor
  ewhile
efun
```

Branch-and-Bound: The 0/1 Knapsack Problem (I)

```

type node = reg
                sol[1..n] of {0,1}
                k : nat
                weight, benefit, optBenefit : real
freg

```

Branch-and-Bound: The 0/1 Knapsack Problem (II)

```

{ V[1]/W[1] ≥ V[2]/W[2] ≥ ... ≥ V[n]/W[n] }
proc knapsack-BB(W, V, M) return ( best-sol[1..n], best-benefit )
    Y.k := 0 ; Y.weight := 0 ; Y.benefit := 0 { root is generated }
    (Y.optBenefit, best-benefit) := estimations(W, V, M, Y.k, Y.weight, Y.benefit)
    create-empty(Q) ; enqueue(Q, Y)
    while ¬is-empty?(Q) ∧ (max-elem(Q).optBenefit ≥ best-benefit) do
        Y := max-elem(Q) ; dequeue(Q)
        X.k := Y.k + 1 ; Z.sol := Y.sol
        { try to insert the object in the knapsack }
        if Y.weight + W[X.k] ≤ M then { estimations remain the same as for Y }
            X.sol[X.k] := 1 ; X.weight := Y.weight + W[X.k]
            X.benefit := Y.benefit + V[X.k] ; X.optBenefit := Y.optBenefit
            if X.k = n then { ben-real(X) = ben-opt(X) }
                best-sol := X.sol ; best-benefit := X.benefit
            else
                enqueue(Q, X) { best-benefit cannot be improved }
        elif

```

Branch-and-Bound: The 0/1 Knapsack Problem (III)

```

    { object is discarded }
    ( X.optBenefit, pes ) := estimations(W, V, M, X.k, Y.weight, Y.benefit)
    if X.optBenefit ≥ best-benefit then
        X.sol[X.k] := 0 ; X.weight := Y.weight ; X.benefit := Y.benefit
        if X.k = n then
            best-sol := X.sol ; best-benefit := X.benefit
        else
            enqueue(Q, X)
            best-benefit := max(best-benefit, pes)
    eif
eif
ewhile
efun

```

Branch-and-Bound: The 0/1 Knapsack Problem (IV)

```

{  $V[1]/W[1] \geq V[2]/W[2] \geq \dots \geq V[n]/W[n]$  }
fun estimations(W[1..n], V[1..n], M, k, weight, benefit) return ( opt, pes )
    empty-space := M - weight ; pes := benefit ; opt := benefit
    j := k + 1
    while j ≤ n ∧ W[j] ≤ empty-space do { object j can be entirely taken }
        empty-space := empty-space - W[j]
        opt := opt + V[j] ; pes := pes + V[j]
        j := j + 1
    ewhile
    if j ≤ n then { there are still objects to try }
        opt := opt + (empty-space/W[j]) * V[j] { object j is fractionated (greedy solution) }
        { extend to a 0/1 solution }
        j := j + 1
        while j ≤ n ∧ empty-space > 0 do
            if W[j] ≤ empty-space then
                empty-space := empty-space - W[j] ; pes := pes + V[j]
            eif
            j := j + 1
        ewhile
    eif
efun

```

Bibliography

- ⑥ **Estructuras de Datos y Métodos algorítmicos**
Martí Oliet, N., Ortega Mallén, Y., Verdejo López, J.A.
Pearson Educación, 2004
- ⑥ **Computer Algorithms (3rd edition)**
Horowitz, E., Sahni, S. Rajasekaran, S.
Computer Science Press, 1998
- ⑥ **Foundations of Algorithms**
Neapolitán, R., Naimipour, K.
Jones & Bartlett Publishers, 1997

SECTION 16.5 Distributed Termination Detection

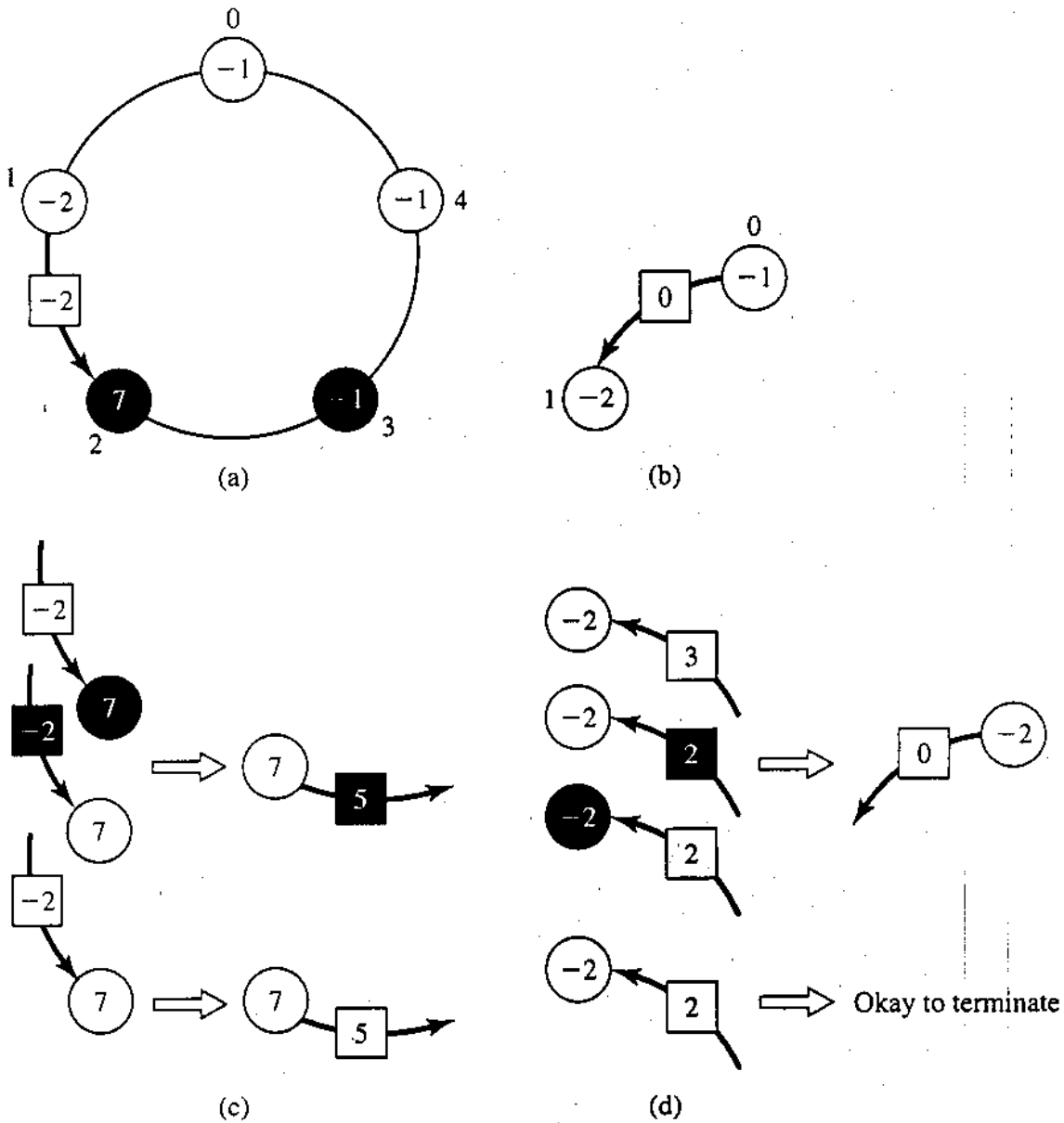


Figure 16.8 Dijkstra et al.'s algorithm to solve the distributed termination problem. (a) A token (square) is passed around a logical ring of processes (circles). (b) Process 0 initiates a probe. (c) An intermediate process modifies the token and passes it along. (d) The token returns to process 0.

Constants:

Comm_Interval — Time between communication steps
Termination — Tags termination messages
Token — Tags token message
Unexamined_Subproblem — Tags message containing unexamined subproblem

Functions:

Current_Time() — Wall clock time
Delete_Min() — Delete subproblem with least lower bound from priority queue
First_Element() — Returns first element from priority queue without deleting it
Initialize() — Set priority queue size to 0
Insert() — Insert subproblem into priority queue
Is_Empty() — Returns true if priority queue is empty
Lower_Bound() — Returns lower bound associated with unexplored subproblem

Variables:

color — Process color (for termination detection)
global_c — Cost of globally best solution found so far
id — Process rank
initial — Initial problem
last_comm — Time of last communication
local_c — Cost of best solution found so far by this process
local_s — Best solution found so far by this process
msg_count — Messages sent minus messages received
q — Priority queue
token — Token passed around ring for termination detection
u — State space tree node
v — New node with additional constraint

Parallel Best-First Branch and Bound (minimization):Initialize (*q*)if *id* = 0 then Insert (*q*, *initial*) *token.c* ← ∞ *token.color* ← WHITE *token.count* ← 0 Send *token* to successor process

endif

local_c ← ∞*best_soln* ← ∞*last_comm* ← Current_Time()*msg_count* ← 0*color* ← WHITE

repeat

 if Is_Empty(*q*) or (Current_Time() - *last_comm* > *Comm_Interval*) then

BandB_Communication()

last_comm ← Current_Time() else if not Is_Empty(*q*) then *u* ← Delete_Min(*q*) if Lower_Bound(*u*) < *best_c* then *color* ← BLACK if *u* is a solution then if Lower_Bound(*u*) < *global_c* then *local_s* ← *u* *local_c* ← Lower_Bound(*local_s*)

endif

Figure 16.16 Parallel branch-and-bound algorithm.

```

else
  for  $i \leftarrow 1$  to  $\text{Possible\_Constraints}(u)$  do
    Add constraint  $i$  to  $u$ , creating  $v$ 
    if  $\text{Lower\_Bound}(v) < \text{global\_c}$  then
      Insert( $q, v$ )
    endif
  endfor
endif
endif
endif
forever

```

BandBCommunication():

```

if there is a pending message with a Termination tag then Halt endif
if there is a pending message with a Token tag then
  Receive message containing token
  if  $\text{local\_c} < \text{token.c}$  then
     $\text{token.c} \leftarrow \text{local.c}$ 
     $\text{token.s} \leftarrow \text{local.s}$ 
  endif
  if  $\text{token.c} \leq \text{Lower\_Bound}(\text{First\_Element}(q))$  then Initialize( $q$ ) endif
   $\text{global.c} \leftarrow \text{token.c}$ 
  if  $\text{id} = 0$  then
    if ( $\text{color} = \text{WHITE}$ ) and ( $\text{token.color} = \text{WHITE}$ ) and
      ( $\text{token.count} + \text{msg.count} = 0$ ) then
      Send messages with a Termination tag to all other processes
      Halt
    else
       $\text{token.color} \leftarrow \text{WHITE}$ 
       $\text{token.count} \leftarrow 0$ 
    endif
  else
    if  $\text{color} = \text{BLACK}$  then  $\text{token.color} \leftarrow \text{BLACK}$ 
     $\text{token.count} \leftarrow \text{token.count} + \text{msg.count}$ 
  endif
  Send token to successor
   $\text{color} \leftarrow \text{WHITE}$ 
endif
while there are pending messages with tag Unexamined_Subproblem do
  Receive message with unexamined subproblem  $u$ 
   $\text{msg.count} \leftarrow \text{msg.count} - 1$ 
   $\text{color} \leftarrow \text{BLACK}$ 
  if  $\text{Lower\_Bound}(u) < \text{global.c}$  then Insert ( $q, u$ )
endwhile
if there is more than one unexamined subproblem in  $q$  then
  Send unexamined subproblem to another process
   $\text{msg.count} \leftarrow \text{msg.count} + 1$ 
   $\text{color} \leftarrow \text{BLACK}$ 
endif
return

```

Figure 16.16 (contd.) Parallel branch-and-bound algorithm.

Anhang D:

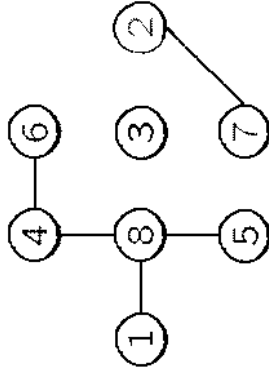
Bestimmung der Zusammenhangskomponenten

Zur Zusammenhangskomponente eines Knoten v_k gehören alle Knoten v_j mit $c_{kj} = 1 = c_{jk}$.

Konstruiere daher die Matrix D mit

$$d_{jk} = \begin{cases} v_k & \text{falls } c_{jk} = 1 \\ 0 & \text{sonst.} \end{cases}$$

Beispiel:



Adjazenzmatrix

1	1	2	3	4	5	6	7	8
1								1
2							1	
3								
4						1	1	1
5								
6						1		
7					1			
8							1	1

Zusammenhangsmatrix

1	1	2	3	4	5	6	7	8
1								1
2							1	
3								
4						1	1	1
5						1	1	1
6						1	1	1
7					1			1
8							1	1

Matrix D

1	1	2	3	4	5	6	7	8
1								8
2							7	
3								
4						8	8	8
5						8	8	8
6						8	8	8
7					8			7
8							8	8

Pseudocode Hirschberg-Algorithmus

Iteriere $\lceil \log n \rceil$ -mal die folgenden 3 Phasen:

Initialisierung des C -Vektors:

$C(i) := i$ für alle $1 \leq i \leq n$.

Phase 1:

for all vertices i in parallel do

$$T(i) = \begin{cases} \min_j \{ C(j) \mid \\ A(i, j) = 1, \\ C(j) \neq C(i) \} & \text{falls existent} \\ C(i) & \text{sonst} \end{cases}$$

Phase 2:

for all vertices i in parallel do

$$T(i) = \begin{cases} \min_j \{ T(j) \mid \\ C(j) = i, \\ T(j) \neq i \} & \text{falls existent} \\ C(i) & \text{sonst} \end{cases}$$

Phase 3:

for all vertices i in parallel do $B(i) = T(i)$

repeat $\log n$ times

for all vertices i in parallel do

$$T(i) = T(T(i))$$

for all vertices i in parallel do

$$C(i) = \min \{ B(T(i)), T(i) \}$$

Detaillierung und Analyse von Phase 1/2

Phase 1 und 2 sind ähnlich, hier Detaillierung von Phase 1:

1(a) for all i, j ($1 \leq i, j \leq n$) in parallel do

$Temp(i, j) :=$ if $A(i, j) = 1$ and $C(i) \neq C(j)$
then $C(j)$ else ∞

1(b) for all i ($1 \leq i \leq n$) in parallel do

$Temp(i, 1) := \min_{1 \leq j \leq n} \{Temp(i, j)\}$

1(c) for all i ($1 \leq i \leq n$) in parallel do

$T(i) :=$ if $Temp(i, 1) = \infty$ then $C(i)$
else $Temp(i, 1)$

∞ repräsentiert eine Zahl $> n$.

Aufwandsanalyse von Phase 1 und 2:

1/2(a) $O(1)$ mit $O(n^2)$ Proz.
1/2(b) $O(\log n)$ mit $O(n)$ Proz.
1/2(c) $O(1)$ mit $O(n)$ Proz.

$\leadsto O(\log n)$ mit $O(n^2)$ Proz.

Begründung für Phase 3

Der T-Graph, der in Phase 2 gebildet wird, besitzt in jedem neu zu bildenden Superknoten eine Schleife aus 2 Kanten, wobei der kleinste Knoten des neuen Superknotens einer der beiden Schleifenknoten ist.

Da jeder Superknoten aus höchstens n Knoten besteht, kommt man beim Durchlaufen des T-Graphen nach n Schritten in die Schleife und ist somit höchstens einen Schritt vom Minimum entfernt.

Gesamtaufwand:

Phase 1/2: $O(\log n)$ mit $O(n^2)$ Proz.

Phase 3: 3(a) $O(1)$ mit $O(n)$ Proz.
3(b) $O(\log n)$ mit $O(n)$ Proz.
3(c) $O(1)$ mit $O(n)$ Proz.

$\leadsto O(\log n)$ mit $O(n)$ Proz.

log n Iterationen: $O(\log^2 n)$ mit $O(n^2)$ Proz.

Algorithmus von Prim

Invariante:

Alle Knoten v_i außerhalb eines Baumes T_i kennen den Knoten in T_i mit minimalem Abstand zu ihnen.

$c(v_i) :=$ nächster Nachbar von v_i in T_i

Initialisierung: Ein Anfangsknoten v_0 wird festgelegt. T_0 besteht nur aus v_0 .
 $c(v_i) := v_0$ für alle $v_i \neq v_0$

Pseudo-Code:

for $i := 1$ to $n - 1$ do

- i) Suche unter den Knoten außerhalb von T_i einen Knoten \bar{v} mit $w(\bar{v}, c(\bar{v}))$ minimal und füge \bar{v} mit der Kante $(\bar{v}, c(\bar{v}))$ zu T_i hinzu

- ii) Die Knoten v_j , die außerhalb von T_i bleiben, berechnen $c(v_j)$ neu
 $c(v_j) :=$ if $w(v_j, \bar{v}) < w(v_j, c(v_j))$
 then \bar{v} else $c(v_j)$

Analyse

sequentielle Laufzeit:

$$T(n) = 1 + O(n) + (n - 1) * O(n) = O(n^2)$$

Implementierung auf CREW-PRAM:

n Prozessoren mit
 1-1-Zuordnung Knoten \leftrightarrow Prozessoren

- \curvearrowright Initialisierung: $O(1)$
- Schleife (i) Minimumbildung: $O(\log n)$
- Schleife (ii): $O(1)$

\curvearrowright parallele Laufzeit:

$$O(n \log n) \text{ mit } O(n) \text{ Prozessoren}$$

\curvearrowright parallele Kosten: $O(n^2 \log n)$

Durch Re-Scheduling kann Kostenoptimalität erreicht werden.

Algorithmus von Sollin

Arbeitsweise ähnlich zu Hirschberg-Algorithmus

Initialisierung: Wald mit n isolierten Knoten, die als Bäume betrachtet werden

Iteration:

für jeden Baum:

bestimme die Kante mit dem kleinsten Gewicht, die diesen Baum mit einem anderen verbindet

Alle diese minimalen Kanten werden hinzugefügt. Dabei werden eventuell entstehende Zyklen beliebig durchbrochen.

Die Anzahl der Bäume wird pro Iteration mindestens halbiert.

↪ maximal $\lceil \log n \rceil$ Iterationen sind erforderlich

Pro Iteration werden maximal $O(n^2)$ Vergleiche zur Bestimmung der minimalen Kanten benötigt.

↪ sequentielle Laufzeit: $O(n^2 \log n)$

Sequentieller Pseudo-Code

Parameter: $n =$ Anzahl der Knoten

Globale Variablen:

closest[] Abstand zu nächstem Baum
edge[] Kante zu nächstem Baum
 i
T MST (als Kantenmenge)
 v, w Endpunkte der aktuellen Kante
weight[] Kantengewichte
Baum[] Wald als Knotenmengen

Hilfsfunktionen:

FIND(v) liefert zu einem Knoten, den Baum, in dem v enthalten ist.

UNION(v, w) vereinigt die Bäume, in denen zwei Knoten v und w enthalten sind.

Pseudo-Code:

```
begin
  for  $i := 1$  to  $n$  do Baum[i] :=  $\{v_i\}$  od
  T :=  $\emptyset$ 
  while  $|T| < n - 1$  do
    für jeden Baum  $i$  setze  $\text{closest}[i] := \infty$ 
    für jede Kante  $(v, w)$  do
      if  $\text{FIND}(v) \neq \text{FIND}(w)$  then
        if  $\text{weight}[\{v, w\}] < \text{closest}[\text{FIND}(v)]$ 
        then  $\text{closest}[\text{FIND}(v)] := \text{weight}[\{v, w\}]$ 
             $\text{edge}[\text{FIND}(v)] = \{v, w\}$ 
        fi
      fi
    od
    für jeden Baum  $i$  do
       $\{v, w\} := \text{edge}[i]$ 
      if  $\text{FIND}(v) \neq \text{FIND}(w)$  then (*)
        T :=  $T \cup \{v, w\}$  (*)
        UNION( $v, w$ ) (*)
      fi
    od
  od
end
```

Parallelisierung

Die äußere While-Schleife kann wegen Abhängigkeiten nicht parallelisiert werden.

Die erste innere for-Schleife kann parallel ausgeführt werden. Bei p Prozessoren bearbeitet jeder Prozessor $\frac{1}{p}$ Bäume.

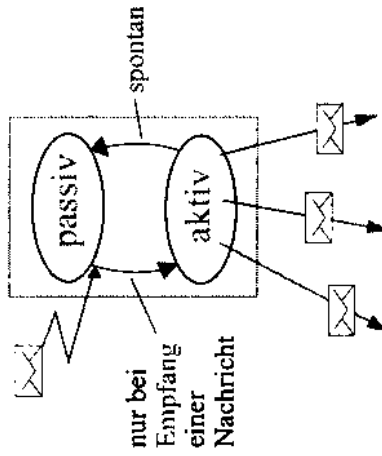
Zweite innere Schleife: Jeder Prozessor kann für einen Anteil an Knoten jeweils die von diesen Knoten ausgehenden Kanten untersuchen.

Dritte innere Schleife: Unkontrollierte Parallelverarbeitung kann zu Fehlern führen. Hier ist eine Synchronisation auf dem durch (*) markierten kritischen Bereich erforderlich.

Verteilte Terminierung: Problemdefinition

Nachrichtengesteuertes Modell einer vert. Berechnung:

- Prozesse sind *aktiv* oder *passiv*
- Nur aktive Prozesse versenden Nachrichten
- Prozeß kann "spontan" passiv werden
- Prozeß wird durch ankommende Nachricht reaktiviert



Problem:

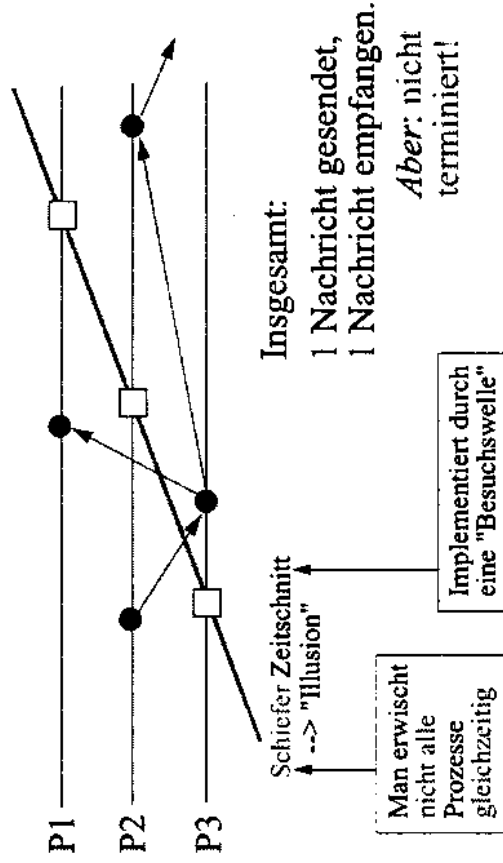
- alle Prozesse passiv sind
- keine Nachricht unterwegs ist

- "Globales Prädikat"
- "Stabiler Zustand"

Verteilte Terminierung: Lösungen durch Zählen von Nachrichten?

- Genügt das (verteilte) Zählen von gesendeten und empfangenen Nachrichten?

- Einfaches Zählen genügt nicht, Gegenbeispiel:



Ursache (informell):

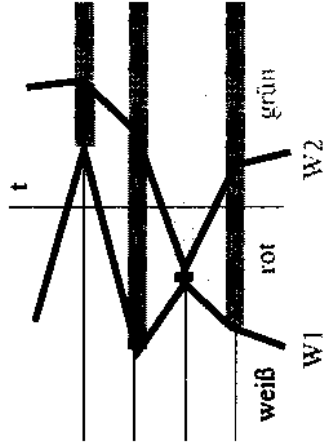
- Nachricht aus der "Zukunft"
 - kompensiert die Zähler
- Inkonsistentster Schnitt
 - ist nicht äquivalent zu einem senkrechten Schnitt

Lösung durch "Ursachenvermeidung"? Ideen vielleicht:

- Nachrichten aus der Zukunft vermeiden oder zumindest erkennen?
- Senkrechten Schnitt simulieren durch *Einfrieren* der Prozesse? *Verteilte Algorithmen* - 82

Echo-Algorithmus für die beiden Wellen des Doppelzählverfahrens?

- Anwendbar für beliebige zusammenhängende Topologien.
- Ausnutzen der beiden "Halbwellen" eines einzigen Laufs des Echo-Algorithmus für die beiden Kontrollrunden!



Der Echo-Algorithmus wird als Transpordienst zur Realisierung von zwei Wellen benutzt, wobei durch die Echo-Nachrichten sowohl die bei W1 lokal gemerkte Information als auch die bzgl. W2 relevante lokale Information an den Initiator übermittelt wird.

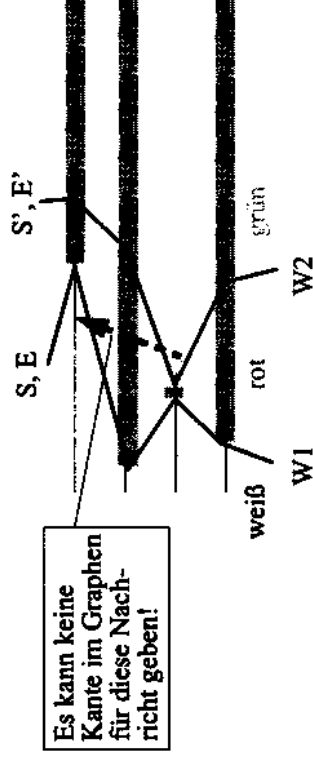
- Welle W1: "rot werden"; Welle W2: "grün werden"

- **Behauptung:** Das so realisierte Doppelzählverfahren ist korrekt.

- **Problem:** Formeller oder informeller Beweis lassen sich so nicht anwenden, da sich W1 und W2 *überlappen!*

Bemerkung:

Auf vorhandenen Spannbäumen kann man aber nicht einfach die vom Initiator ausgesendete Hinwelle und die reflektierte Rückwelle verwenden!



- "Trick": Es gibt keine nach W2 gesendete Nachricht, die vor W1 ankommt (grüne Knoten haben keine weißen Nachbarn!)

- Wenn ein Knoten grün wird, sind seine Nachbarn bereits vorher rot geworden
- > Täuschung der Zähler durch Kompensation mittels Nachrichten "rückwärts" über 2 Wellen ist unmöglich!

- **Beweisskizze:**

1) Im roten Gebiet (d.h. zwischen W1 und W2) findet keine Aktivität statt, wenn das Terminierungskriterium $S=E=S'=E'$ gilt: Da W1 nur passive Prozesse "schneidet", müßte dazu eine vor W1 (im weißen Gebiet) ausgesendete Nachricht im roten Gebiet ankommen. Dann ist aber $E' > E$.

2) Es kann Nachrichten geben, die beide Wellen "vorwärts" überqueren (d.h. im weißen Gebiet gesendet werden und im grünen ankommen). Solche Nachrichten werden auf S (und S') als gesendet registriert, jedoch weder auf E noch auf E' als empfangen registriert. Da eine Kompensation der Zähler S, E mittels Nachrichten "rückwärts" über 2 Wellen unmöglich ist (wie im Gegenbsp. zum einfachen Zählen), ist dann $S > E$.